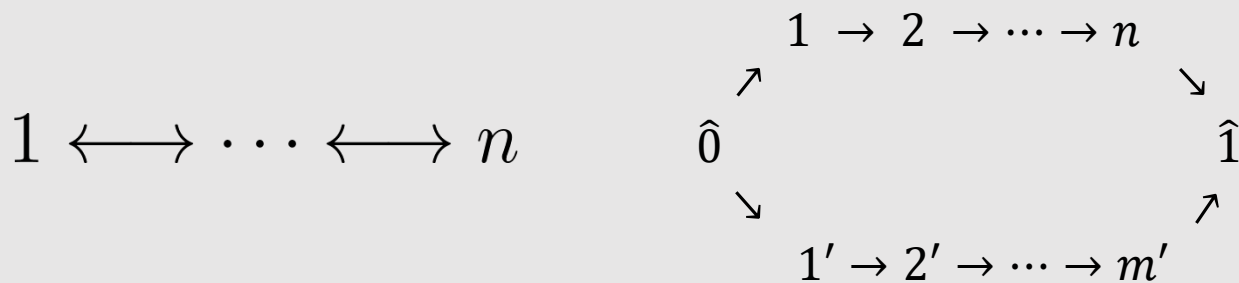


# On Interval Global Dimension of Posets: a Characterization of Case 0

多田 駿介

神戸大学 人間発達環境学研究科



Joint work with

青木 利隆 氏(神戸) エスカラ エマソン ガウ 氏(神戸)

Preprint Summand-injectivity of interval approximations and monotonicity  
of interval global dimension. Toshitaka Aoki, Emerson G. Escolar, Shunsuke  
Tada. arXiv:2308.14979.

# 発表の流れ

■位相的データ解析とは？

■定理(1)

■定理(2)

# 位相的データ解析(TDA)とは？

Topological Data Analysis

トポロジーを用いたデータ解析手法

# 位相的データ解析(TDA)とは？

Topological Data Analysis

トポロジーを用いたデータ解析手法

- パーシステントホモロジー解析
- Mapper解析
- topological flow analysis

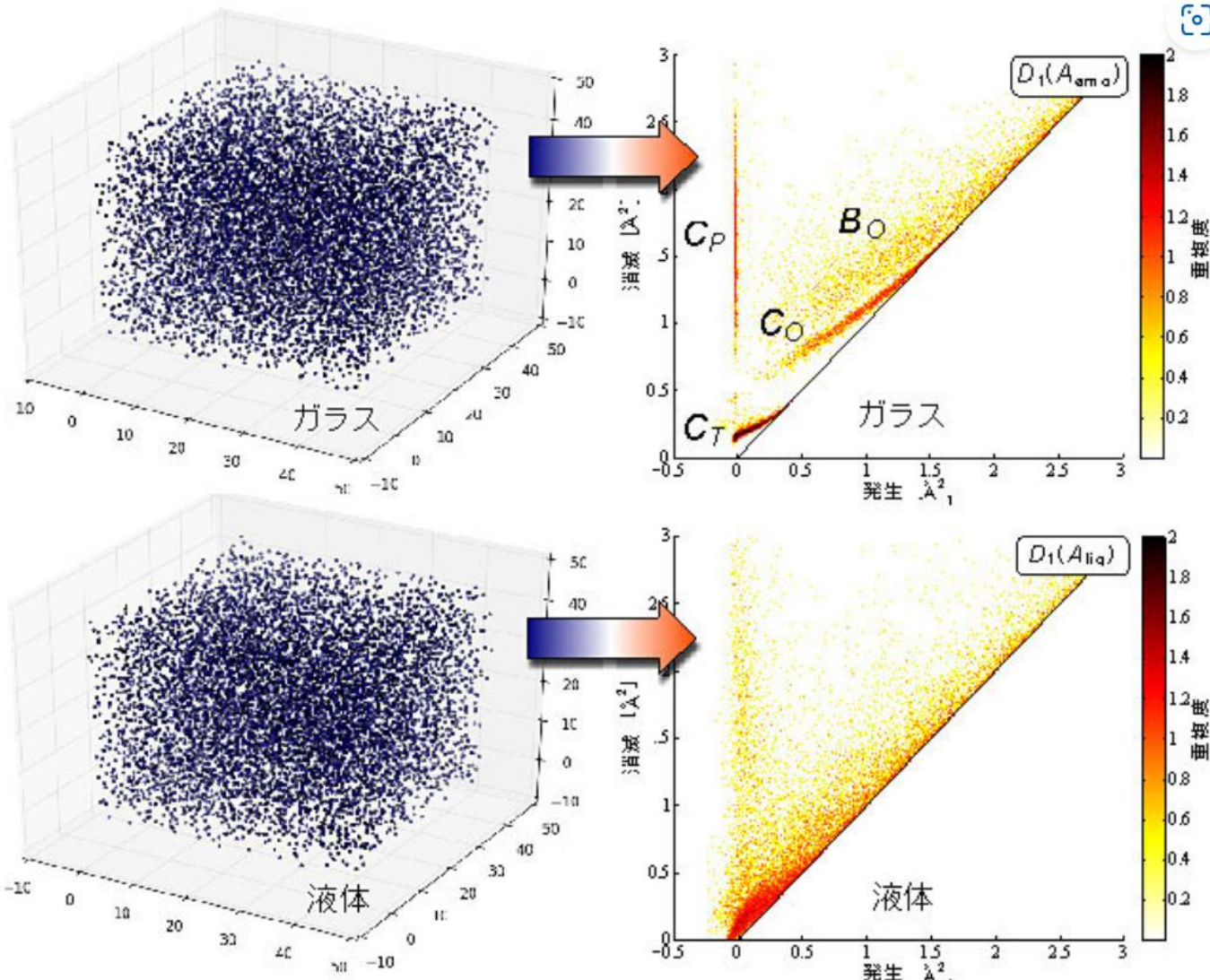


図1  $\text{SiO}_2$  の原子配置（左）とそのパーシステントホモロジー（右）

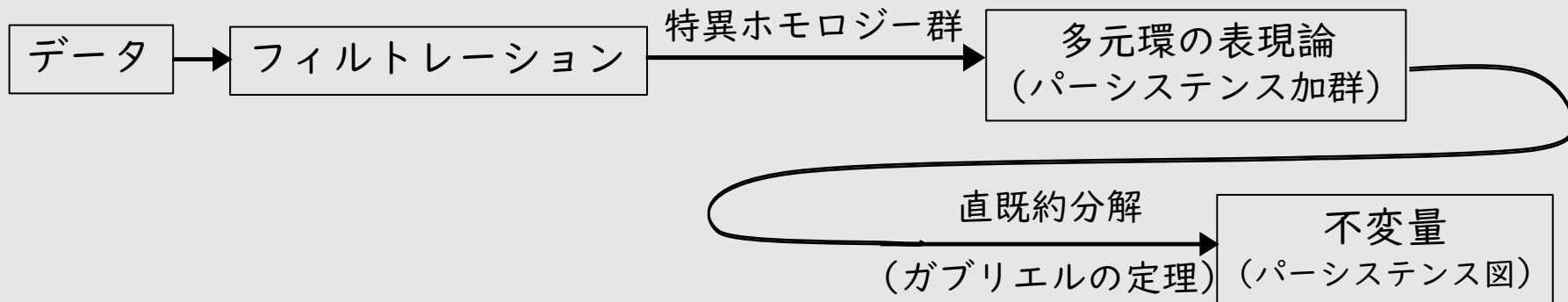
共同発表：ガラスの「形」を数学的に解明～トポロジーで読み解く無秩序の中の秩序～  
[jst.go.jp](http://jst.go.jp)

# パーシステントホモロジー解析

データの形(穴や空洞)の  
「パーシステンス」(持続性)  
に着目

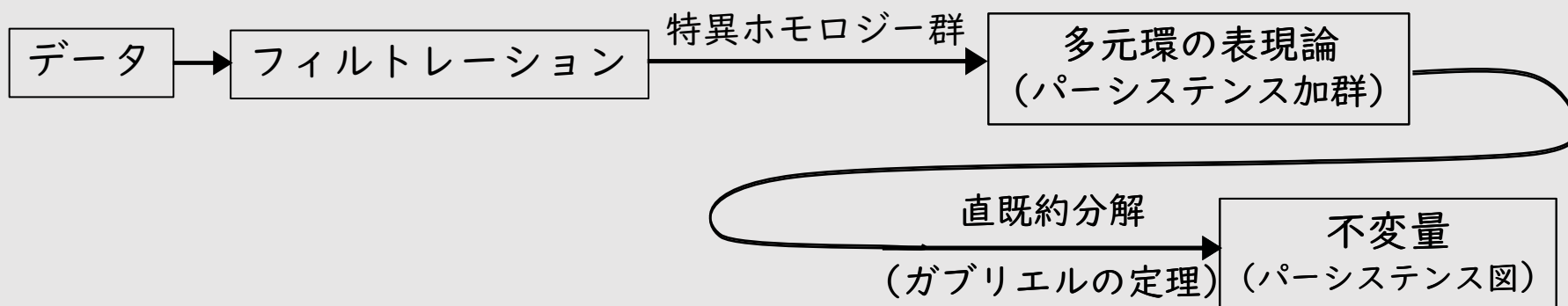
# パーシステントホモロジー解析

データの形(穴や空洞)  
の  
「パーシステンス」(持続性)  
に着目

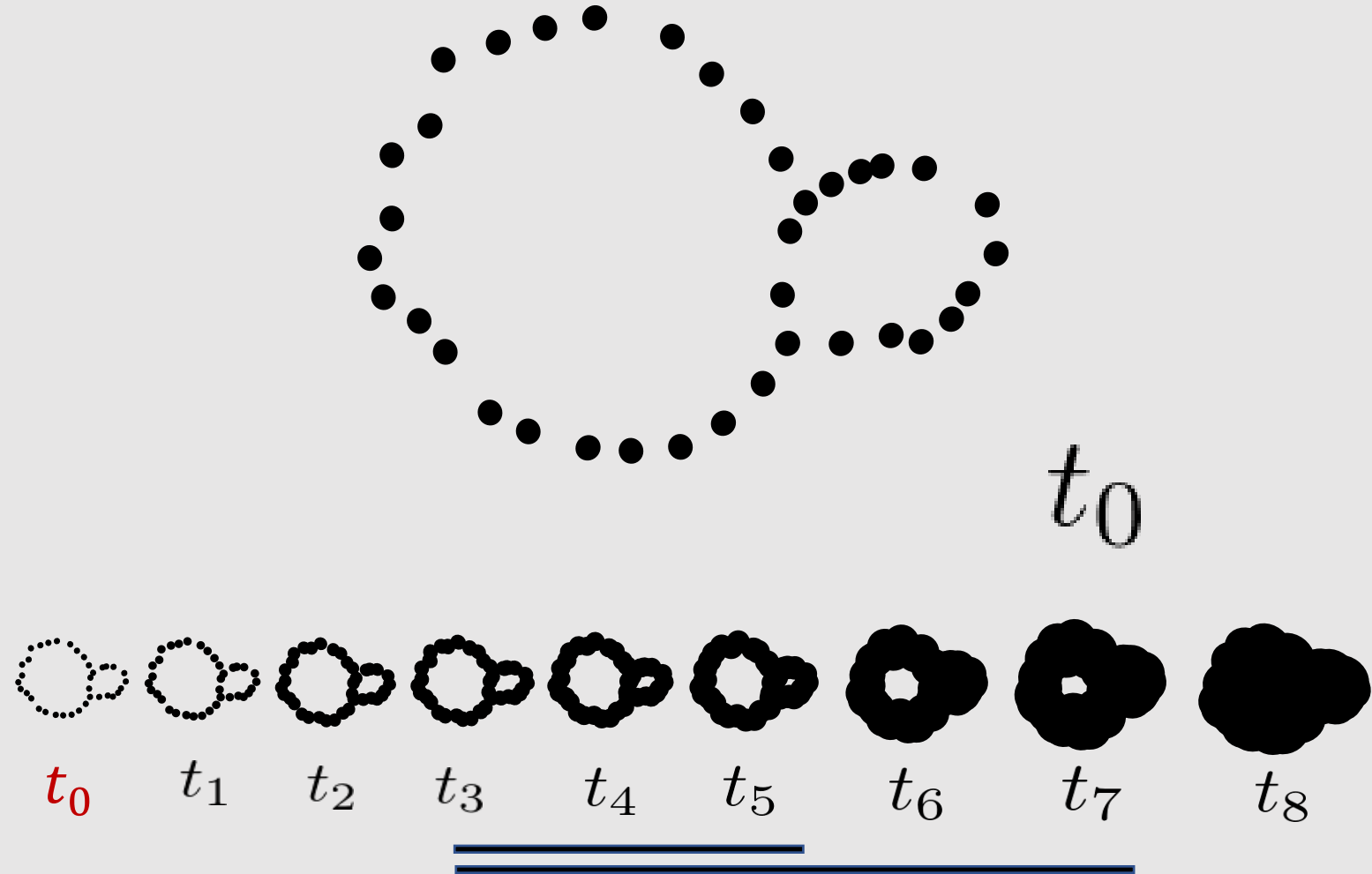


# パーシステントホモロジー解析

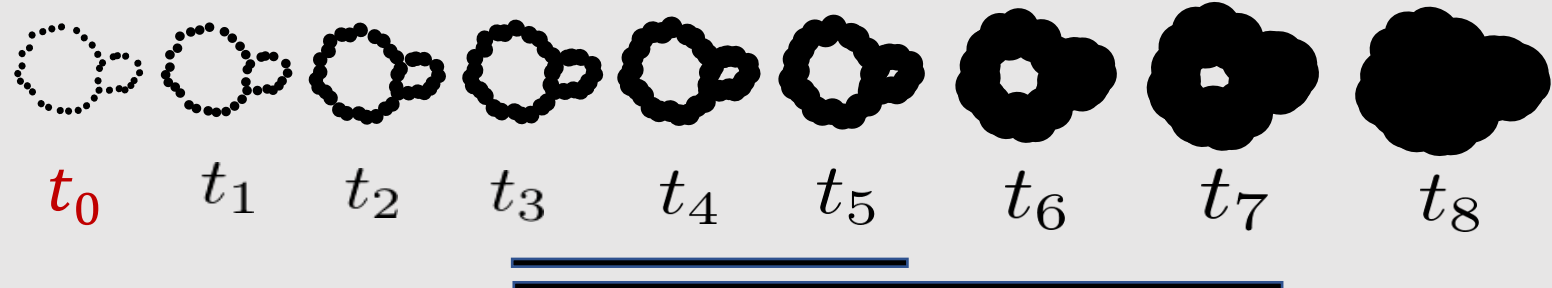
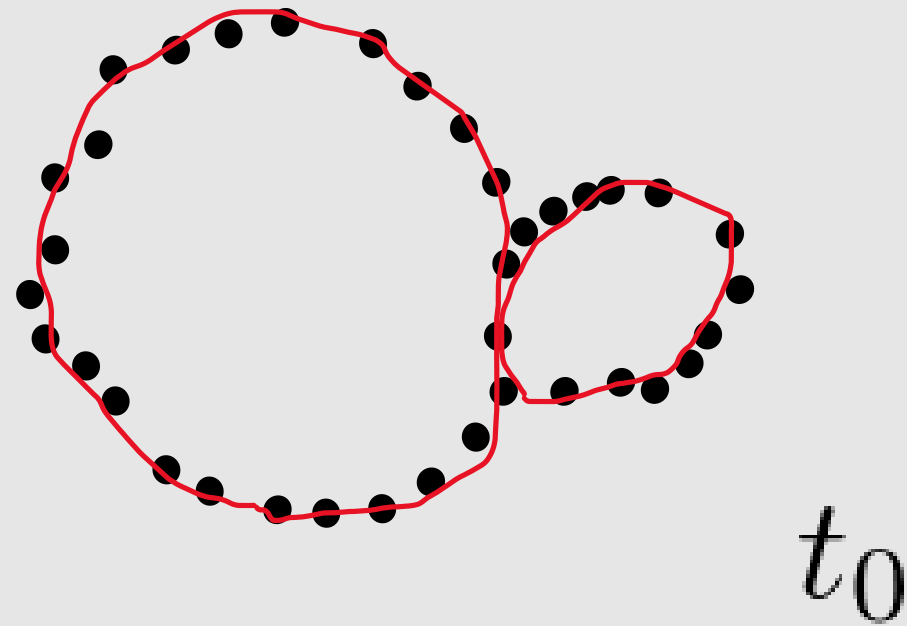
データの形(穴や空洞)  
の  
「パーシステンス」(持続性)  
に着目



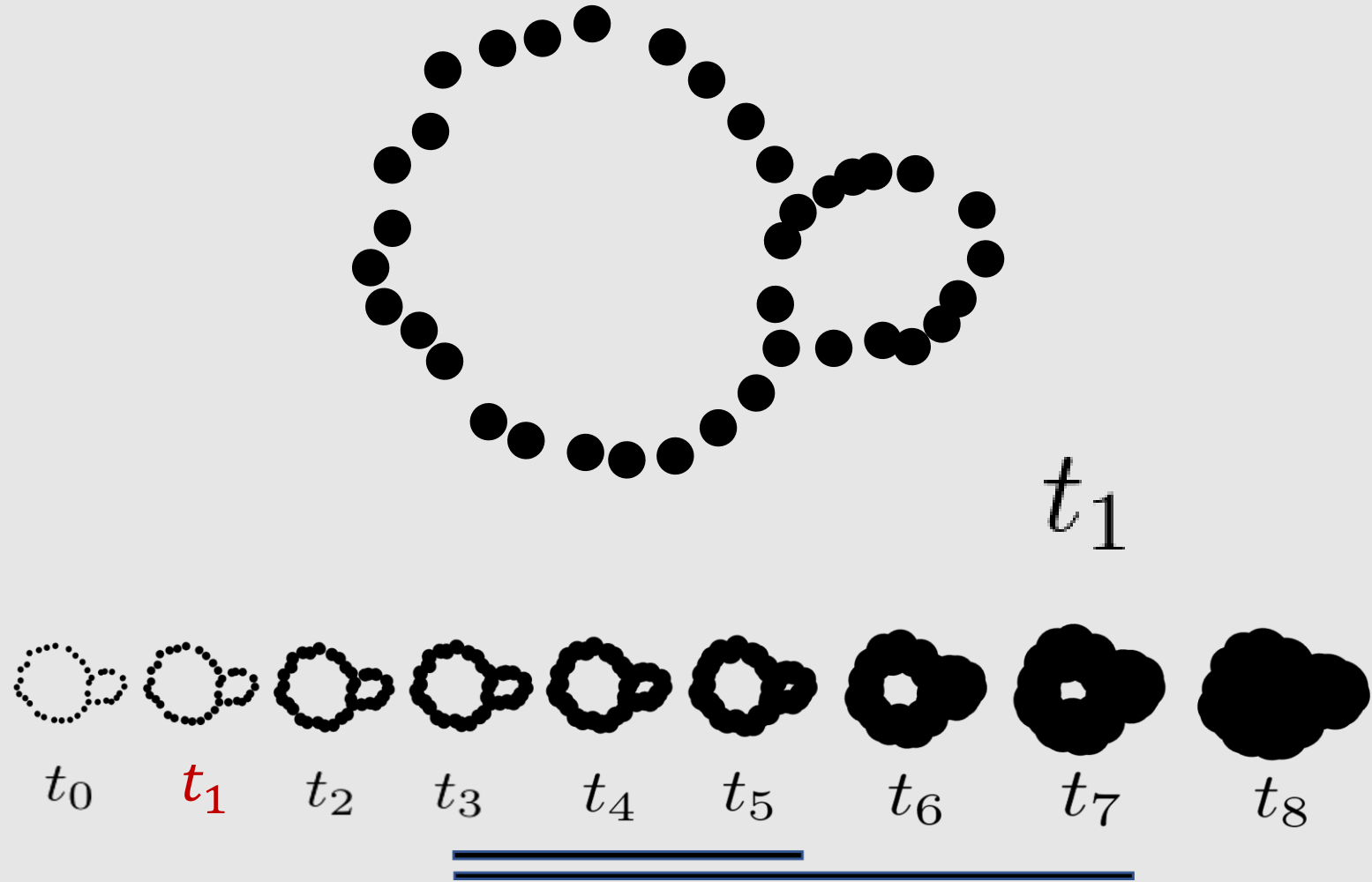
点群データから半径パラメータ $t$ を大きくすることにより  
フィルトレーションを構成



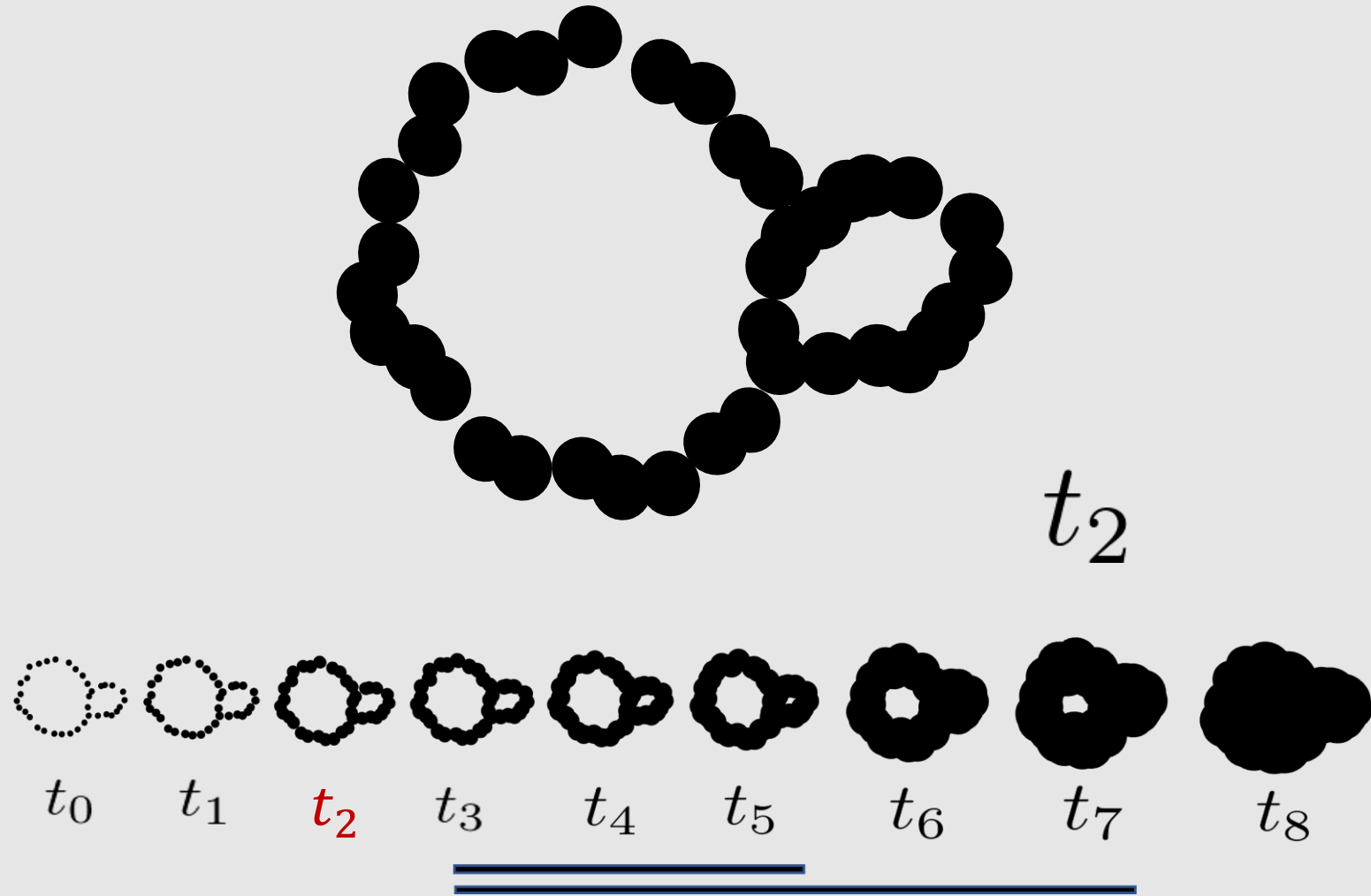
点群データから半径パラメータ $t$ を大きくすることにより  
フィルトレーションを構成



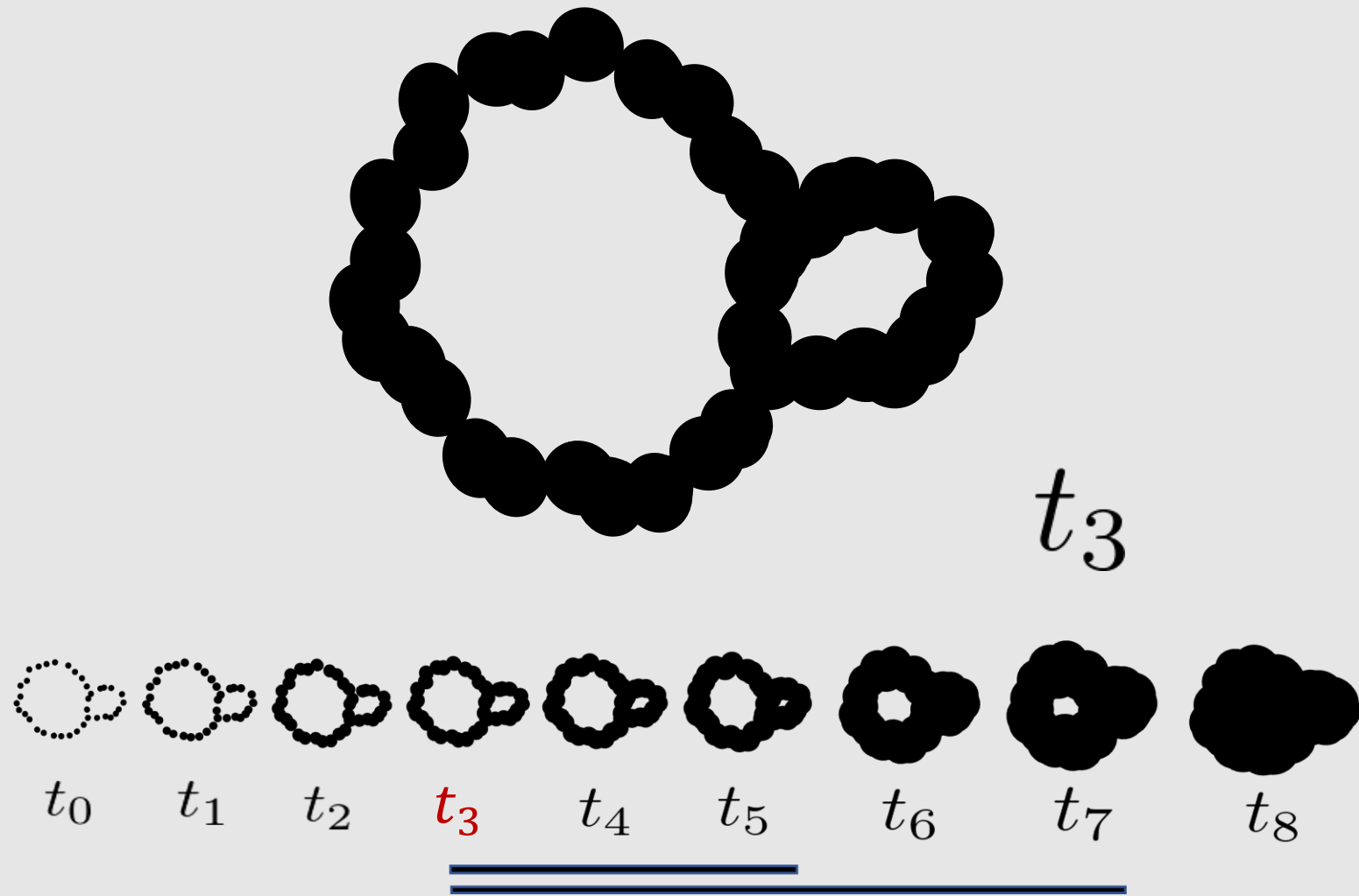
点群データから半径パラメータ $t$ を大きくすることにより  
フィルトレーションを構成



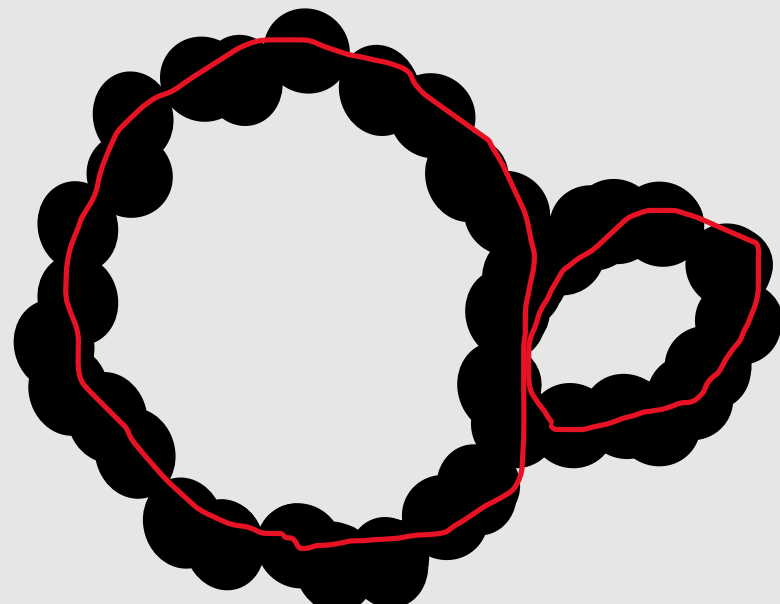
点群データから半径パラメータ $t$ を大きくすることにより  
フィルトレーションを構成



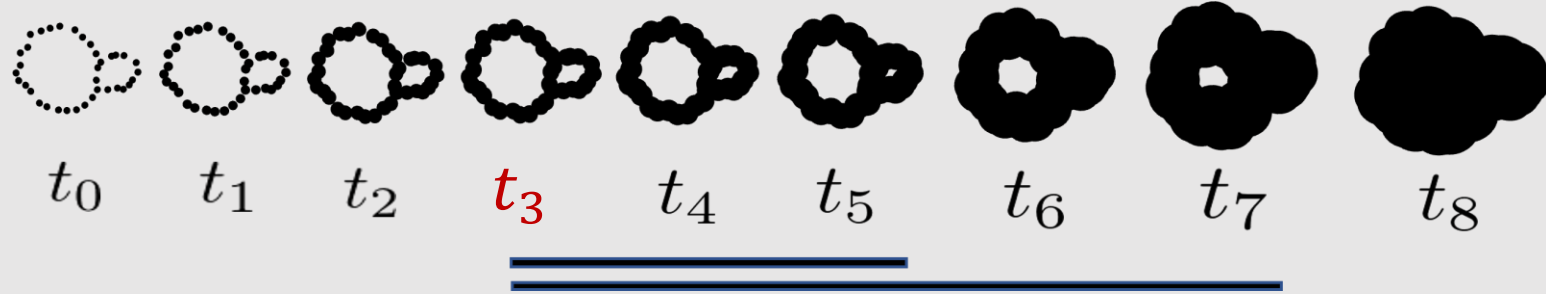
点群データから半径パラメータ $t$ を大きくすることにより  
フィルトレーションを構成



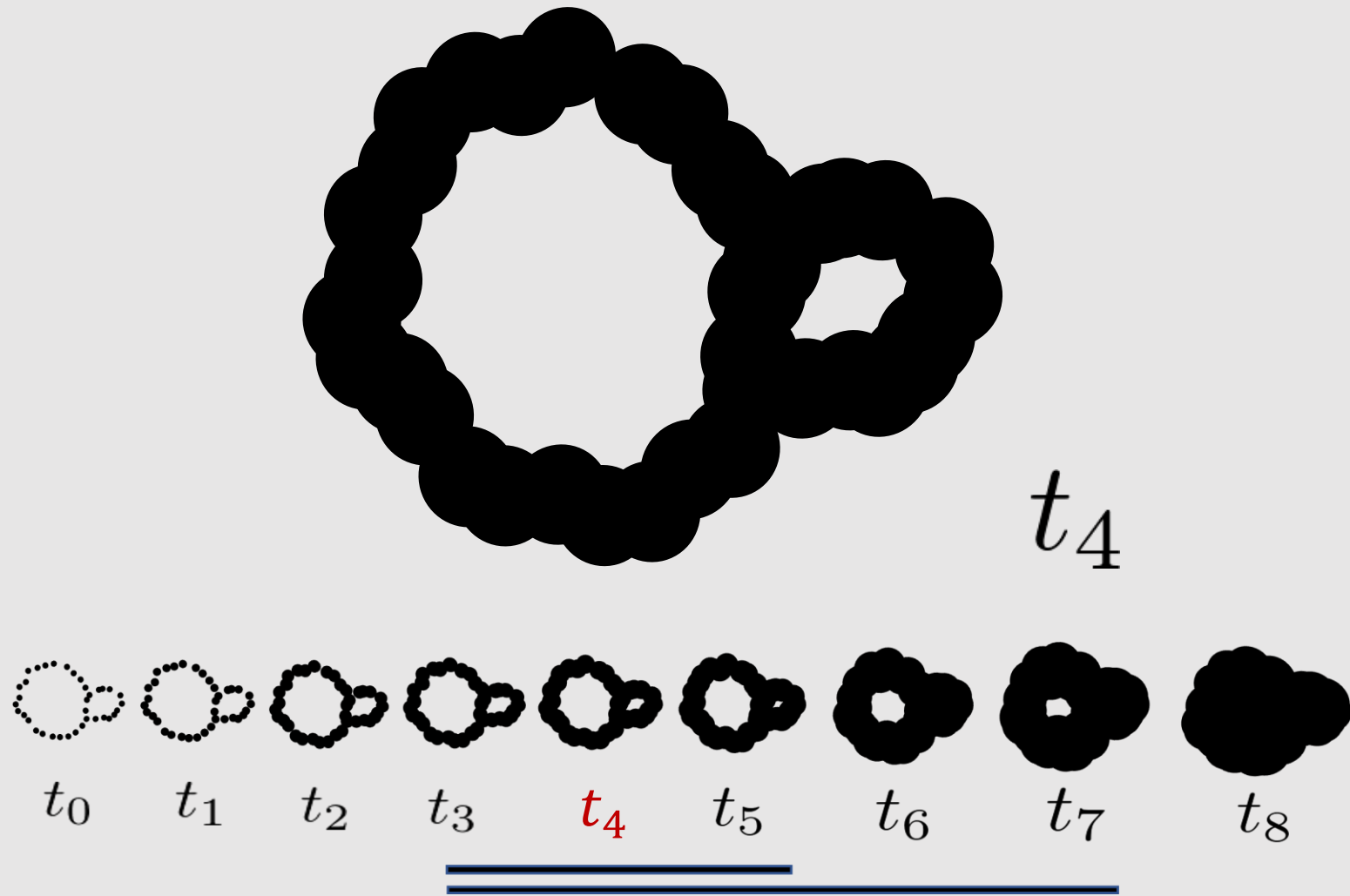
点群データから半径パラメータ $t$ を大きくすることにより  
フィルトレーションを構成



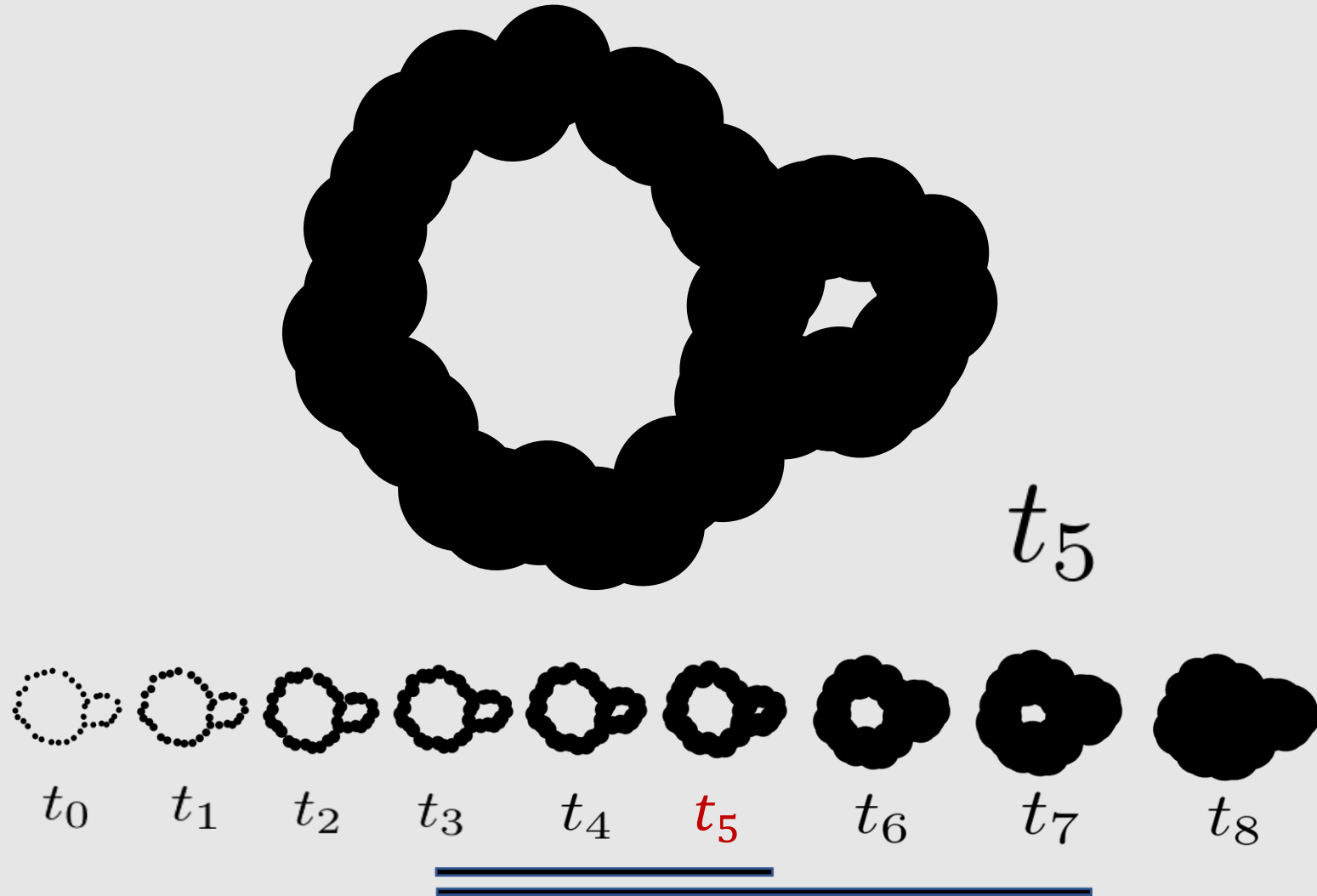
$t_3$  穴の生成



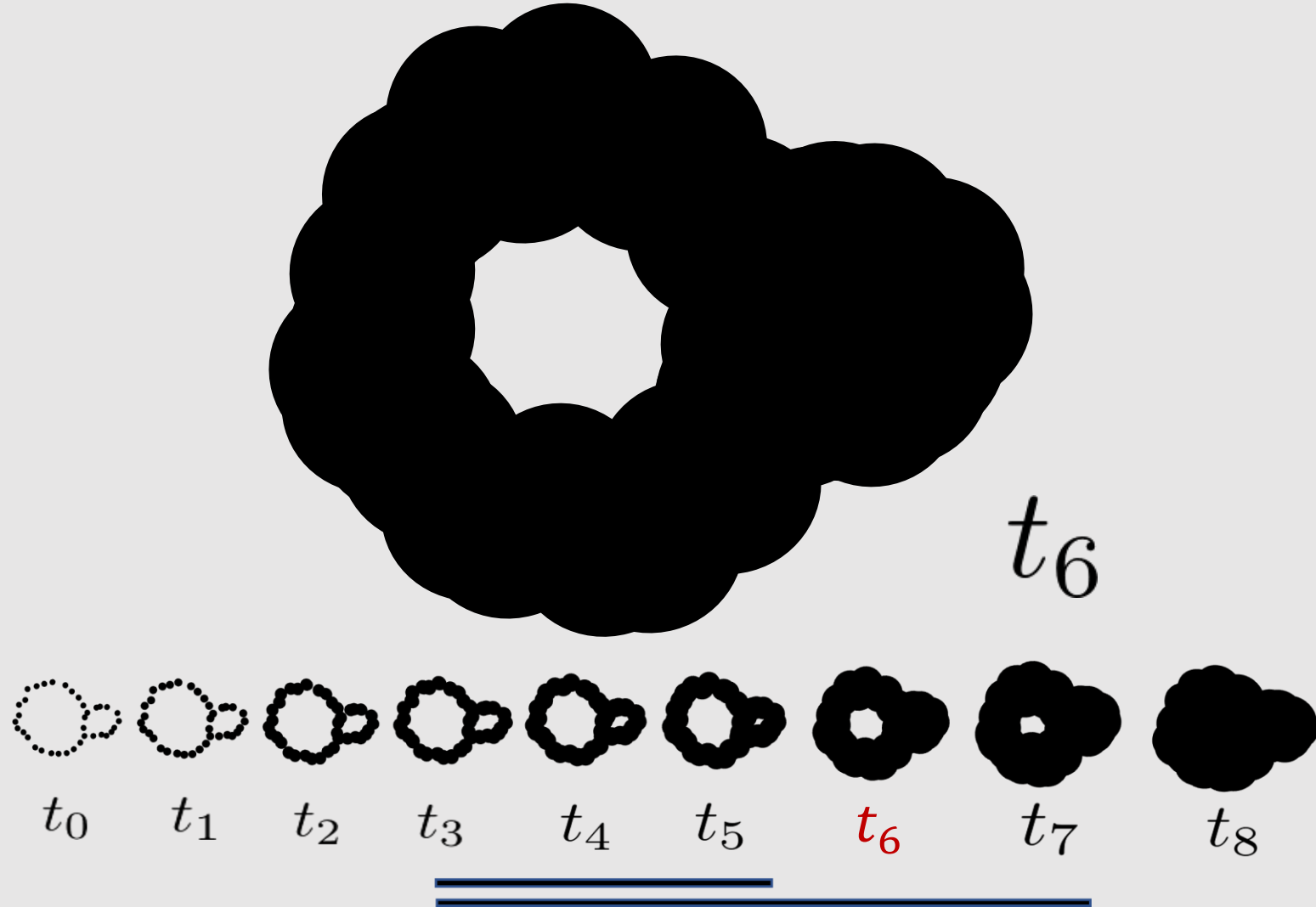
点群データから半径パラメータ $t$ を大きくすることにより  
フィルトレーションを構成



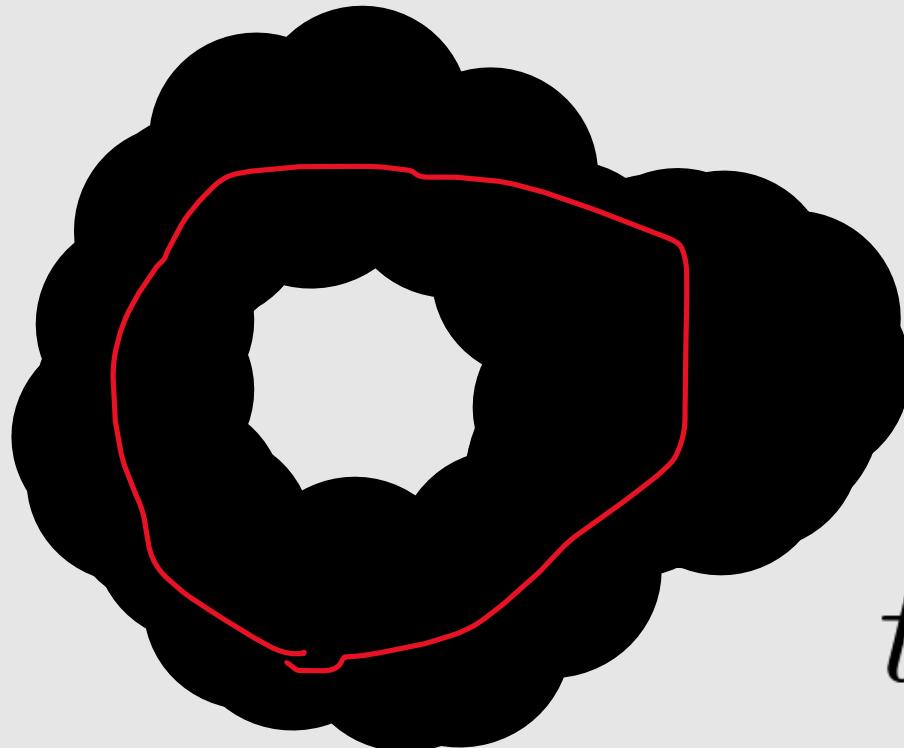
点群データから半径パラメータ $t$ を大きくすることにより  
フィルトレーションを構成



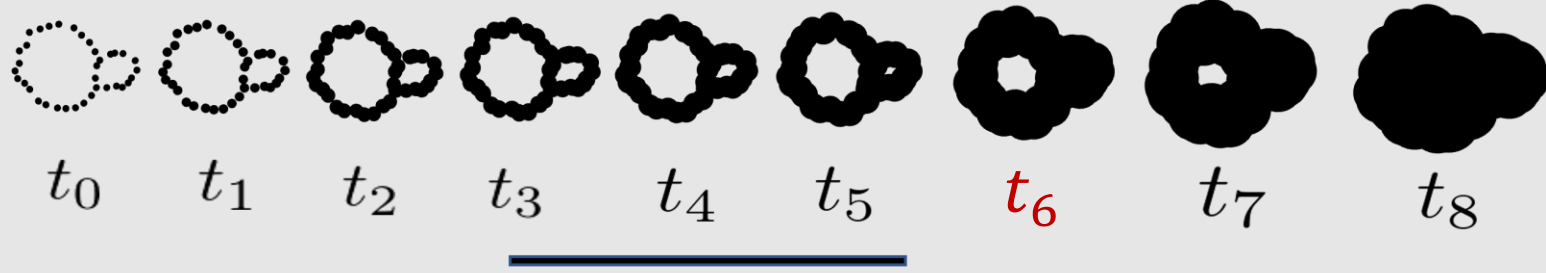
点群データから半径パラメータ $t$ を大きくすることにより  
フィルトレーションを構成



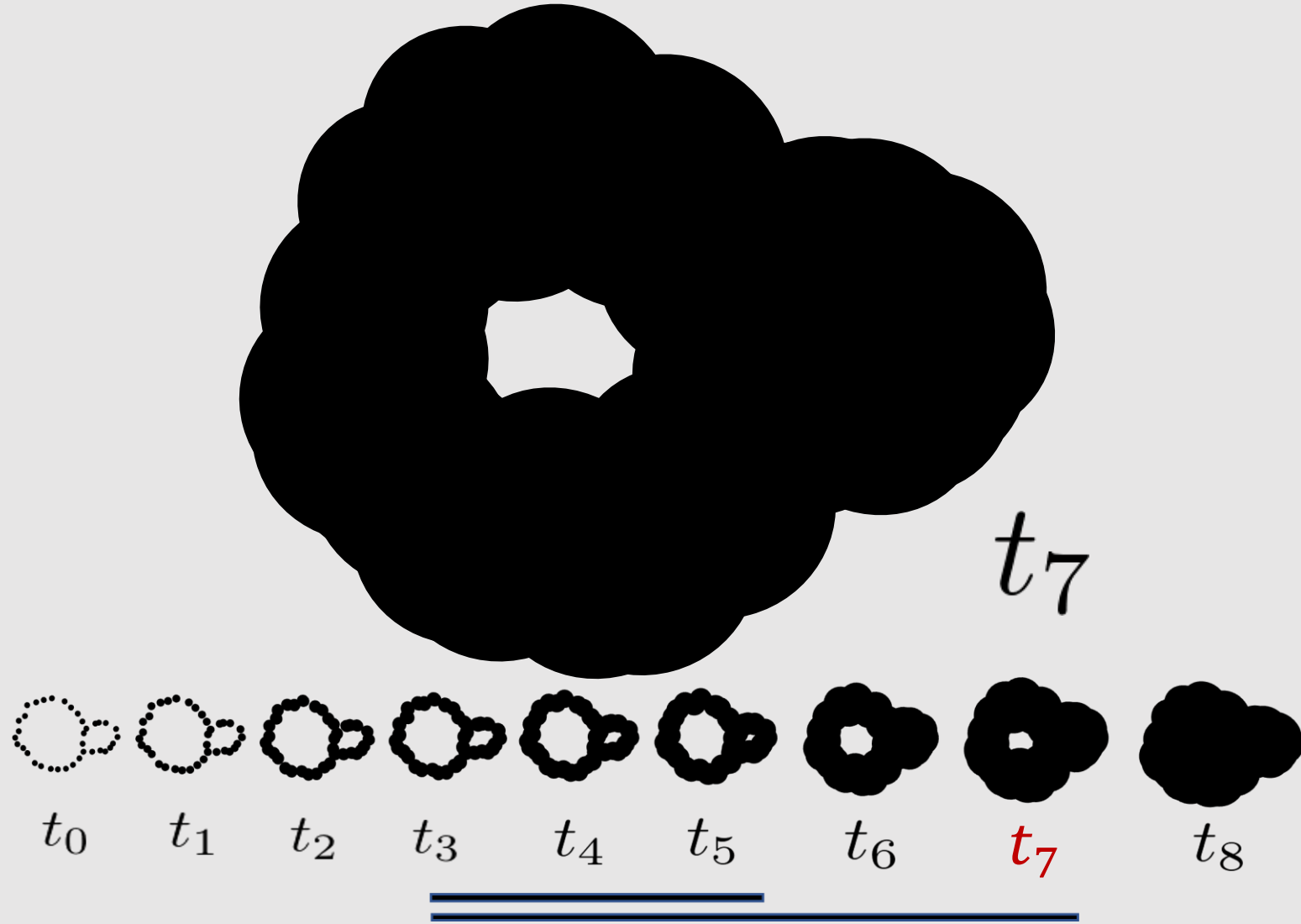
点群データから半径パラメータ $t$ を大きくすることにより  
フィルトレーションを構成



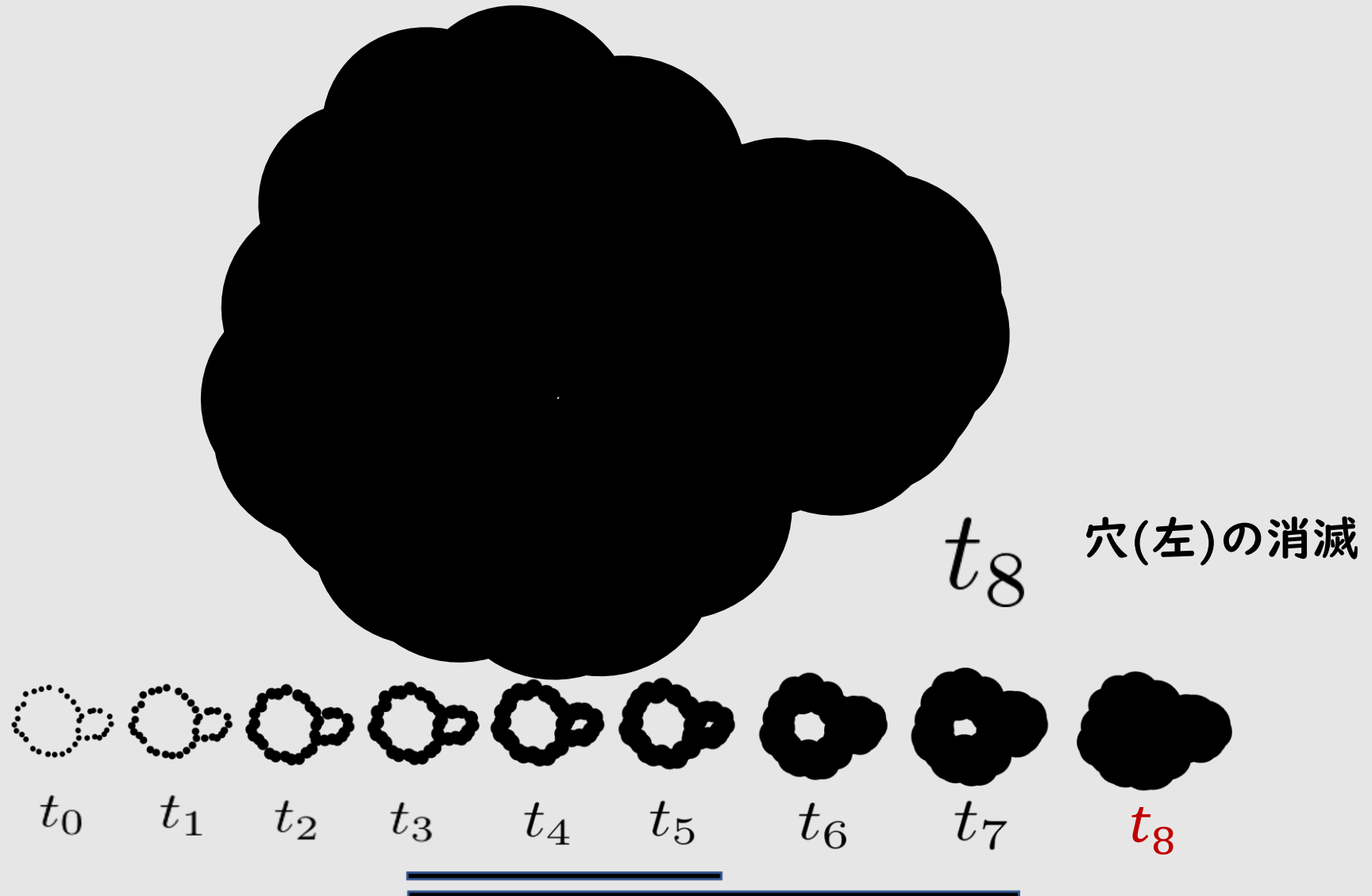
$t_6$  穴(右)の消滅



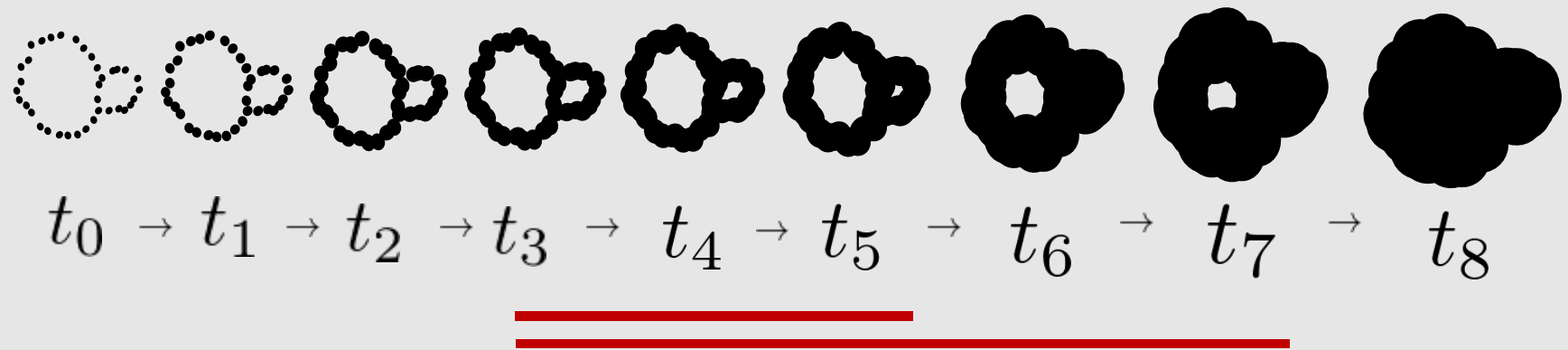
点群データから半径パラメータ $t$ を大きくすることにより  
フィルトレーションを構成



点群データから半径パラメータ $t$ を大きくすることにより  
フィルトレーションを構成

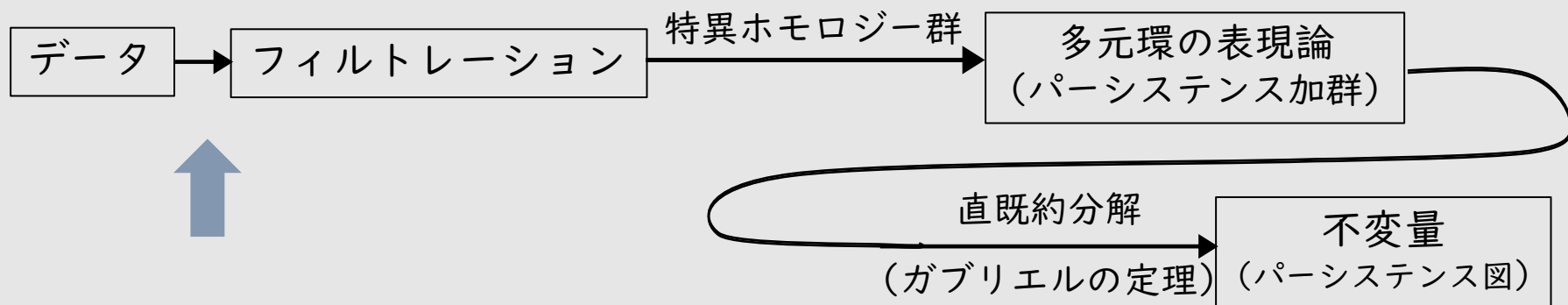


点群データから半径パラメータ $t$ を大きくすることにより  
フィルトレーションを構成

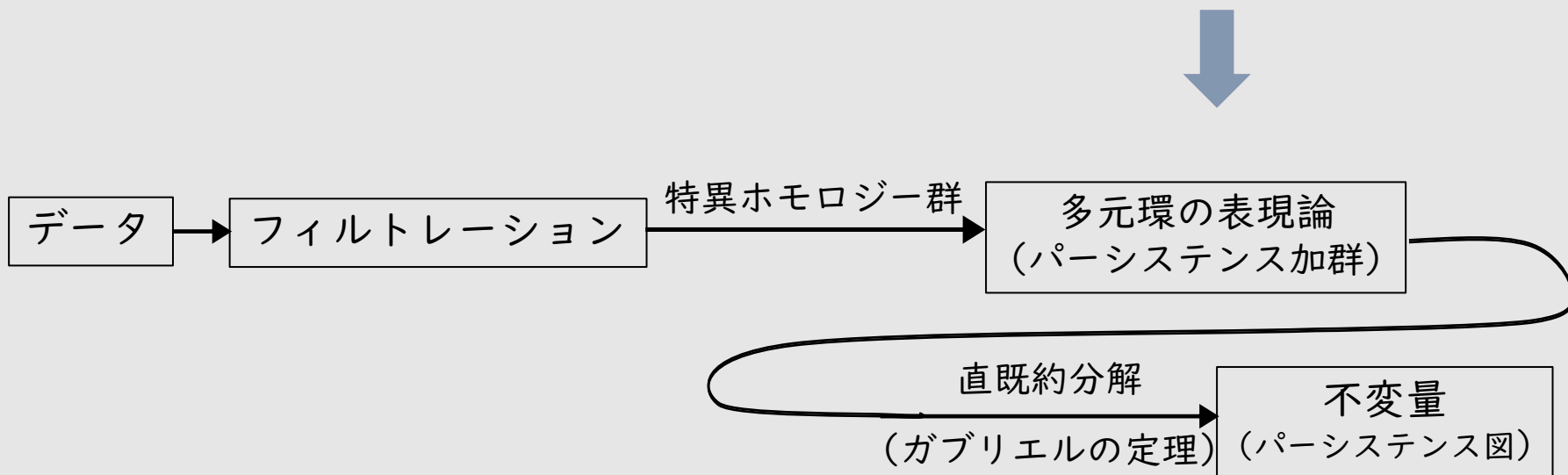


区間  $[3, 5]$ , 区間  $[3, 7]$  (持続性=life-time)  
によって穴の生成(birth)と消滅(death)を記述.

点群データから半径パラメータ $t$ を大きくすることにより  
フィルトレーションを構成



# フィルトレーション→表現論→パーシステンス図



# フィルトレーション→表現論→パーシステンス図

## Gabriel's theorem for type $A$ -quivers

For a quiver

$$1 \rightarrow \cdots \rightarrow n$$

and its representations

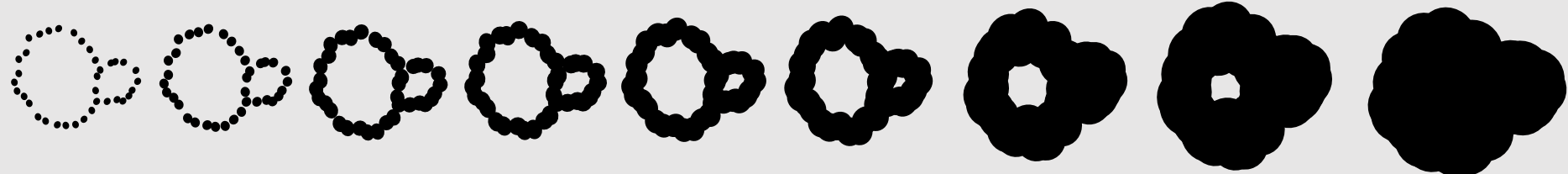
$$V : V_1 \rightarrow \cdots \rightarrow V_n,$$

we have a unique decomposition of  $V$

$$V \cong \bigoplus_{i=1}^n I[b_i, d_i]^{m_{b_i, d_i}},$$

where  $I[b_i, d_i] := \cdots \rightarrow 0 \rightarrow \begin{matrix} \text{id} \\ b_i \end{matrix} \rightarrow \cdots \xrightarrow{\text{id}} \begin{matrix} \text{id} \\ d_i \end{matrix} \rightarrow 0 \rightarrow \cdots$ .

# フィルトレーション→表現論→パーシステンス図

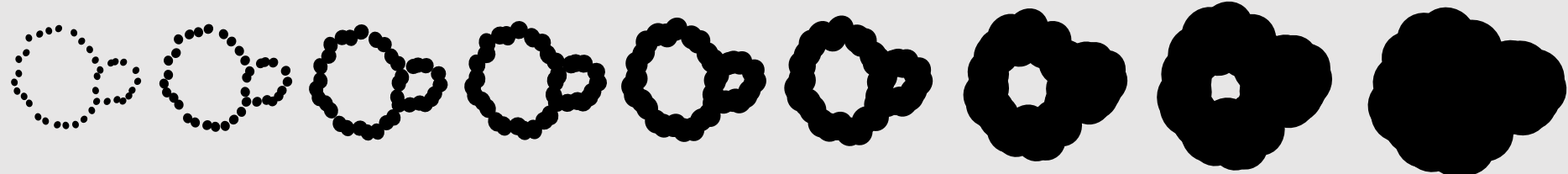


$t_0 \rightarrow t_1 \rightarrow t_2 \rightarrow t_3 \rightarrow t_4 \rightarrow t_5 \rightarrow t_6 \rightarrow t_7 \rightarrow t_8$



$H_1(-)$

# フィルトレーション→表現論→パーシステンス図



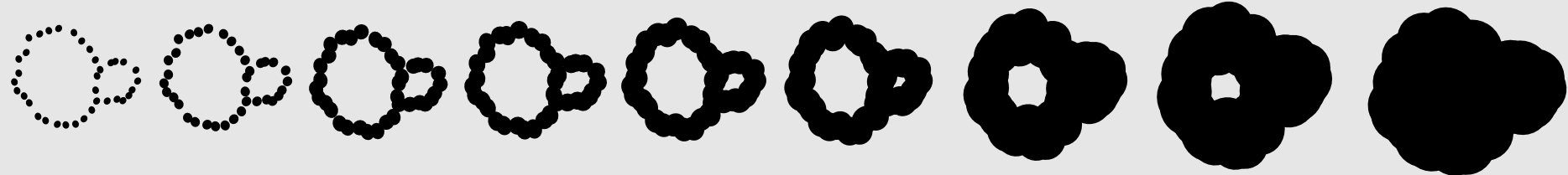
$t_0 \rightarrow t_1 \rightarrow t_2 \rightarrow t_3 \rightarrow t_4 \rightarrow t_5 \rightarrow t_6 \rightarrow t_7 \rightarrow t_8$



$H_1(-)$

$H_1(t_0) \rightarrow H_1(t_1) \rightarrow H_1(t_2) \rightarrow H_1(t_3) \rightarrow H_1(t_4) \rightarrow H_1(t_5) \rightarrow H_1(t_6) \rightarrow H_1(t_7) \rightarrow H_1(t_8)$

# フィルトレーション→表現論→パーシステンス図



$t_0 \rightarrow t_1 \rightarrow t_2 \rightarrow t_3 \rightarrow t_4 \rightarrow t_5 \rightarrow t_6 \rightarrow t_7 \rightarrow t_8$

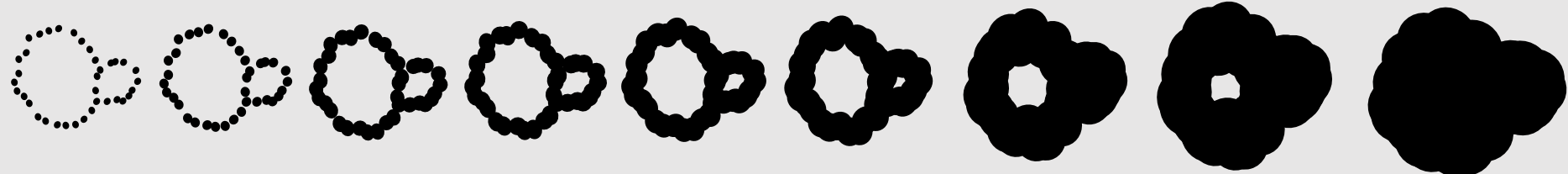


$H_1(-)$

$H_1(t_0) \rightarrow H_1(t_1) \rightarrow H_1(t_2) \rightarrow H_1(t_3) \rightarrow H_1(t_4) \rightarrow H_1(t_5) \rightarrow H_1(t_6) \rightarrow H_1(t_7) \rightarrow H_1(t_8)$

$0 \rightarrow 0 \rightarrow 0 \rightarrow k^2 \xrightarrow{\text{id}} k^2 \xrightarrow{\text{id}} k^2 \xrightarrow{\begin{bmatrix} 0 \\ 1 \end{bmatrix}} k \xrightarrow{\text{id}} k \rightarrow 0$

# フィルトレーション→表現論→パーシステンス図



$t_0 \rightarrow t_1 \rightarrow t_2 \rightarrow t_3 \rightarrow t_4 \rightarrow t_5 \rightarrow t_6 \rightarrow t_7 \rightarrow t_8$



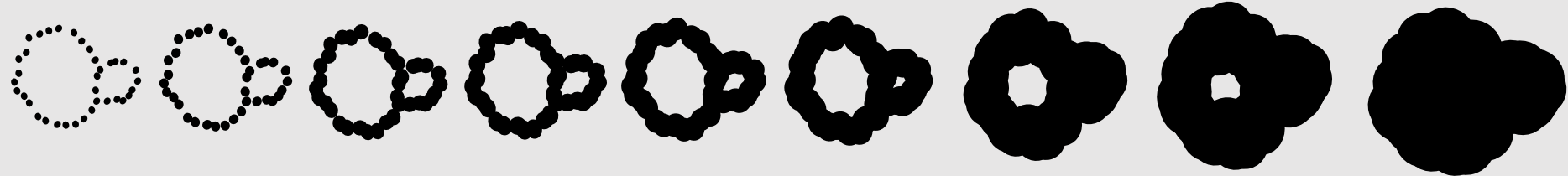
$H_1(-)$

$H_1(t_0) \rightarrow H_1(t_1) \rightarrow H_1(t_2) \rightarrow H_1(t_3) \rightarrow H_1(t_4) \rightarrow H_1(t_5) \rightarrow H_1(t_6) \rightarrow H_1(t_7) \rightarrow H_1(t_8)$

$0 \rightarrow 0 \rightarrow 0 \rightarrow k^2 \xrightarrow{\text{id}} k^2 \xrightarrow{\text{id}} k^2 \xrightarrow{\begin{bmatrix} 0 \\ 1 \end{bmatrix}} k \xrightarrow{\text{id}} k \rightarrow 0$

A型の表現

# フィルトレーション→表現論→パーシステンス図



$t_0 \rightarrow t_1 \rightarrow t_2 \rightarrow t_3 \rightarrow t_4 \rightarrow t_5 \rightarrow t_6 \rightarrow t_7 \rightarrow t_8$

=====

$H_1(-)$

$H_1(t_0) \rightarrow H_1(t_1) \rightarrow H_1(t_2) \rightarrow H_1(t_3) \rightarrow H_1(t_4) \rightarrow H_1(t_5) \rightarrow H_1(t_6) \rightarrow H_1(t_7) \rightarrow H_1(t_8)$

$$0 \rightarrow 0 \rightarrow 0 \rightarrow k^2 \xrightarrow{\text{id}} k^2 \xrightarrow{\text{id}} k^2 \xrightarrow{\begin{bmatrix} 0 \\ 1 \end{bmatrix}} k \xrightarrow{\text{id}} k \rightarrow 0$$

$\parallel\wr$

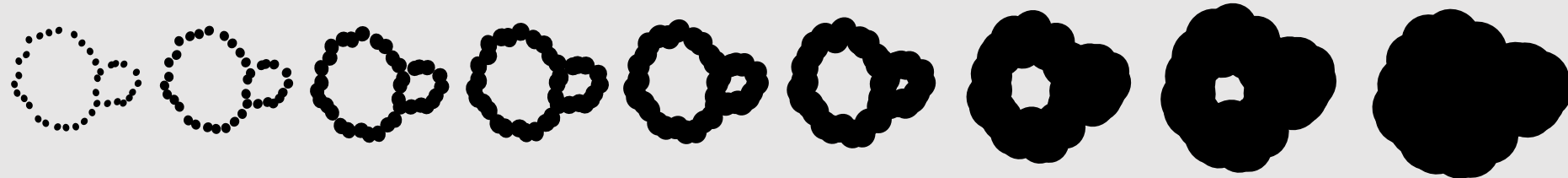
$I[3,5]$

$$0 \rightarrow 0 \rightarrow 0 \rightarrow k \rightarrow k \rightarrow k \rightarrow 0 \rightarrow 0 \rightarrow 0 \rightarrow 0$$

$\oplus$

$I[3,7]$

## フィルトレーション→表現論→パーシステンス図



$$t_0 \rightarrow t_1 \rightarrow t_2 \rightarrow t_3 \rightarrow t_4 \rightarrow t_5 \rightarrow t_6 \rightarrow t_7 \rightarrow t_8$$

$$H_1(-)$$

# 直既約加群 $\longleftrightarrow$ 位相的特徴の持続性

$$H_1(t_0) \rightarrow H_1(t_1) \rightarrow H_1(t_2) \rightarrow H_1(t_3) \rightarrow H_1(t_4) \rightarrow H_1(t_5) \rightarrow H_1(t_6) \rightarrow H_1(t_7) \rightarrow H_1(t_8)$$

$$0 \rightarrow 0 \rightarrow 0 \rightarrow k^2 \xrightarrow{\text{id}} k^2 \xrightarrow{\text{id}} k^2 \xrightarrow{\begin{bmatrix} 0 \\ 1 \end{bmatrix}} k \xrightarrow{\text{id}} k \rightarrow 0$$

↓      ↓

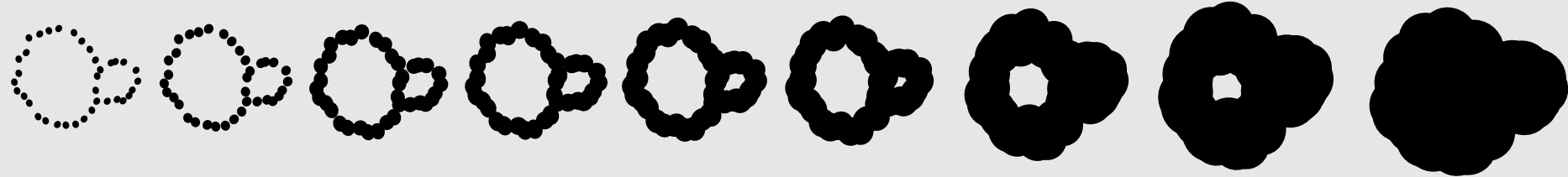
$$0 \rightarrow 0 \rightarrow 0 \rightarrow k \rightarrow k \rightarrow k \rightarrow 0 \rightarrow 0 \rightarrow 0$$

$\oplus$

$$I[2,7]$$

$$0 \rightarrow 0 \rightarrow 0 \rightarrow k \rightarrow k \rightarrow k \rightarrow k \rightarrow k \rightarrow 0$$

# フィルトレーション→表現論→パーシステンス図



$$t_0 \rightarrow t_1 \rightarrow t_2 \rightarrow t_3 \rightarrow t_4 \rightarrow t_5 \rightarrow t_6 \rightarrow t_7 \rightarrow t_8$$

$H_1(-)$

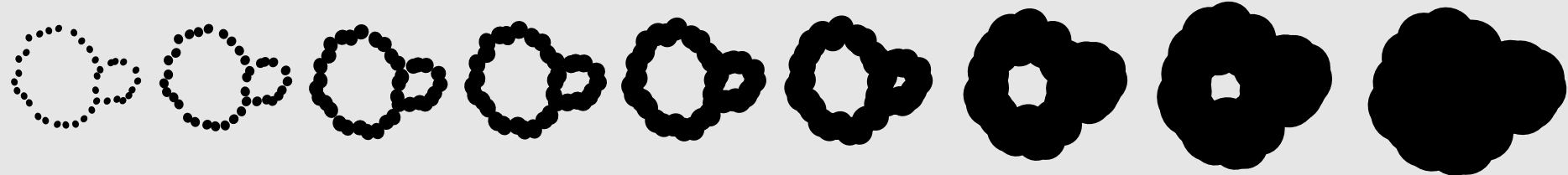
**直既約加群**  $\longleftrightarrow$  **位相的特徴の持続性**

$$H_1(t_0) \rightarrow H_1(t_1) \rightarrow H_1(t_2) \rightarrow H_1(t_3) \rightarrow H_1(t_4) \rightarrow H_1(t_5) \rightarrow H_1(t_6) \rightarrow H_1(t_7) \rightarrow H_1(t_8)$$

$$\begin{array}{ccccccccc}
 0 & \rightarrow & 0 & \rightarrow & k^2 & \xrightarrow{\text{id}} & k^2 & \xrightarrow{\text{id}} & k \\
 & & & & & \parallel \wr & & & \\
 0 & \rightarrow & 0 & \rightarrow & k & \rightarrow & k & \rightarrow & 0 \\
 & & & & & \oplus & & & \\
 0 & \rightarrow & 0 & \rightarrow & k & \rightarrow & k & \rightarrow & k
 \end{array}$$

$I[3,5]$   
 $I[3,7]$

# フィルトレーション→表現論→パーシステンス図

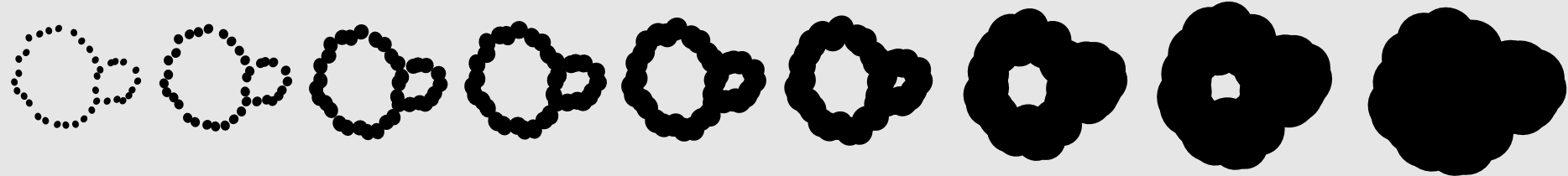


$t_0 \rightarrow t_1 \rightarrow t_2 \rightarrow t_3 \rightarrow t_4 \rightarrow t_5 \rightarrow t_6 \rightarrow t_7 \rightarrow t_8$



$$\longleftrightarrow I[3, 5] \oplus I[3, 7]$$

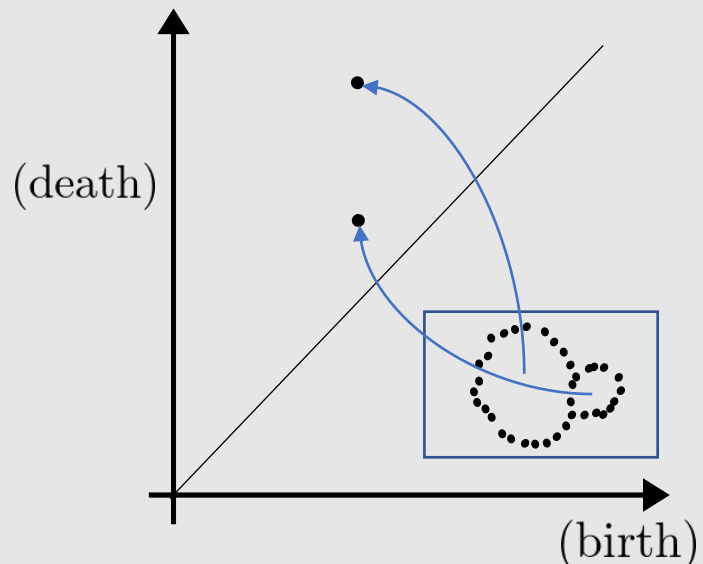
# フィルトレーション→表現論→パーシステンス図



$t_0 \rightarrow t_1 \rightarrow t_2 \rightarrow t_3 \rightarrow t_4 \rightarrow t_5 \rightarrow t_6 \rightarrow t_7 \rightarrow t_8$

$\equiv$

$\longleftrightarrow I[3, 5] \oplus I[3, 7]$



データの形を記述

パーシステンス図

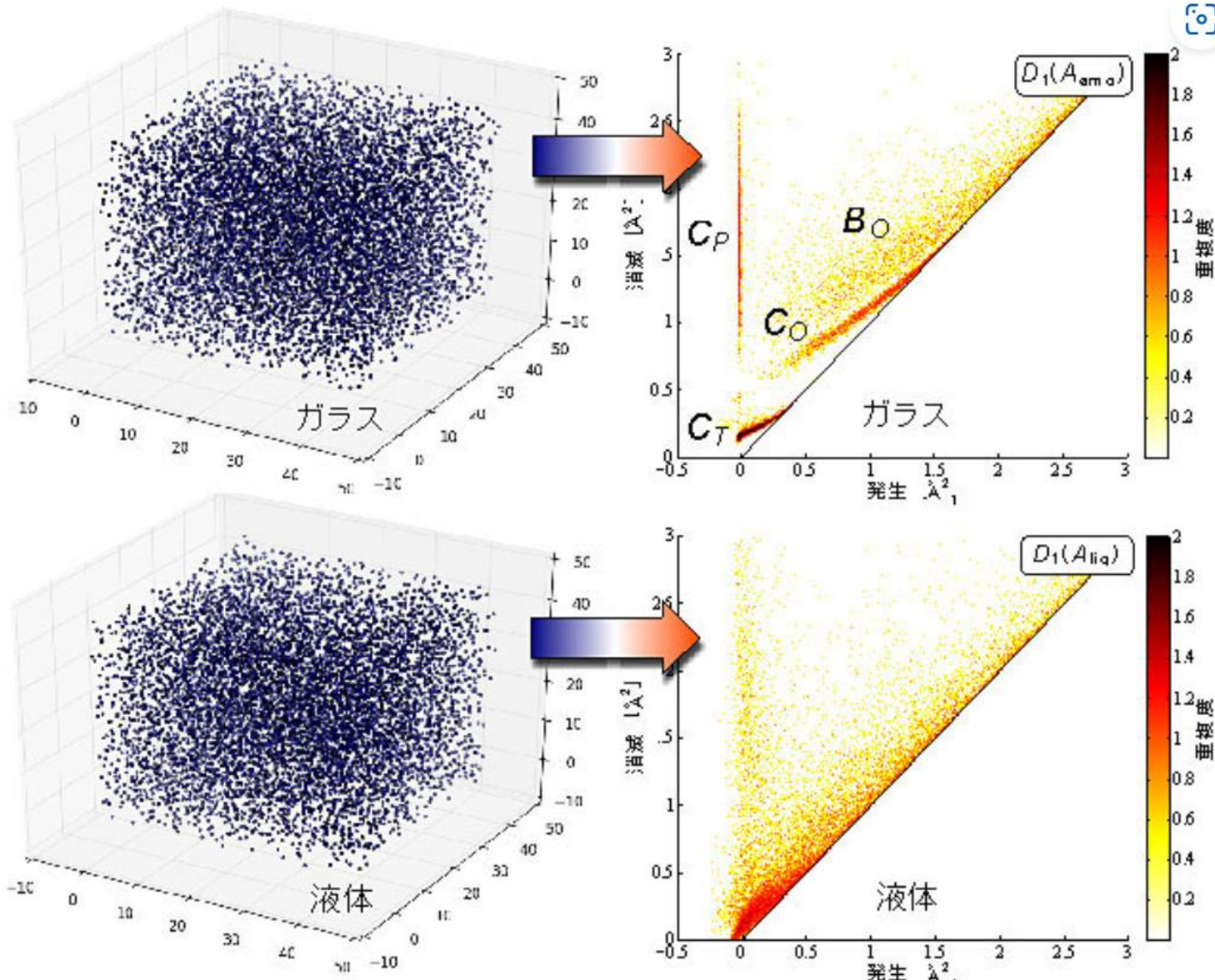
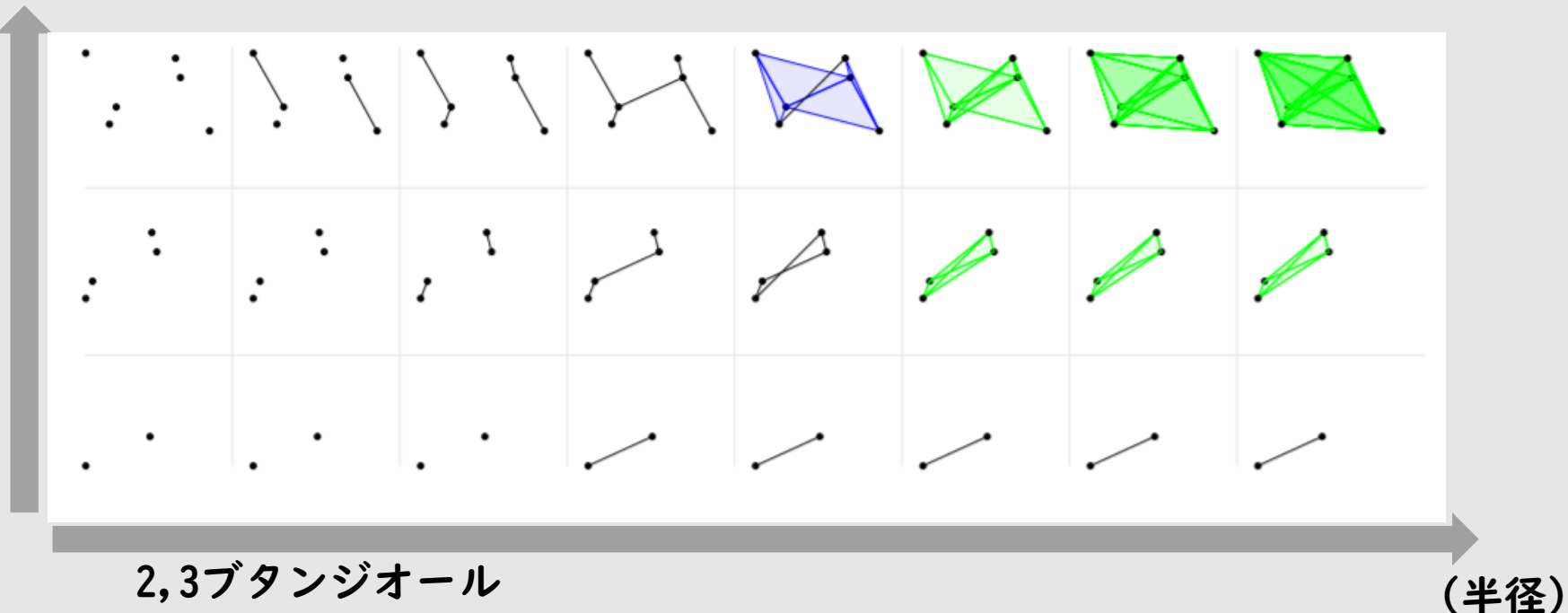


図1  $\text{SiO}_2$ の原子配置（左）とそのパーシステントホモロジー（右）

共同発表：ガラスの「形」を数学的に解明～トポロジーで読み解く無秩序の中の秩序～ ([jst.go.jp](http://jst.go.jp))から引用

# 多パラメータのパーシステントホモロジー解析

(部分電化)



# 多パラメータのパーシステントホモロジー解析

グリッドの表現は扱いやすい

↑	↑	↑	↑	↑	↑	↑
• → • → • → • → • → • →						
↑	↑	↑	↑	↑	↑	↑
• → • → • → • → • → • →						
↑	↑	↑	↑	↑	↑	↑
• → • → • → • → • → • →						
↑	↑	↑	↑	↑	↑	↑
• → • → • → • → • → • →						
↑	↑	↑	↑	↑	↑	↑
• → • → • → • → • → • →						
↑	↑	↑	↑	↑	↑	↑
• → • → • → • → • → • →						
↑	↑	↑	↑	↑	↑	↑
• → • → • → • → • → • →						

Wild表現型

# 半順序集合の表現(homological algebra)

- Magnus Bakke Botnan, Steffen Oppermann, and Steve Oudot. “Signed barcodes for multi-parameter persistence via rank decompositions and rank-exact resolutions.” *In International Symposium on Computational Geometry*, 2021
- Benjamin Blanchette, Thomas Brüstle, and Eric J Hanson. “Homological approximations in persistence theory.” *Canadian Journal of Mathematics*, pages 1-38, 2021.
- Hideto Asashiba, Emerson G Escolar, Ken Nakashima, and Michio Yoshiwaki. “Approximation by interval-decomposables and interval resolutions of persistence modules.” *Journal of Pure and Applied Algebra*, 227(10):107397, 2023.

など

# 区間分解可能性に着目



一方通行からzigzagへ

- Carlsson, Gunnar, and Vin De Silva. “Zigzag persistence.” *Foundations of computational mathematics* 10 (2010): 367–405.
- Botnan, Magnus, and Michael Lesnick. “Algebraic stability of zigzag persistence modules.” *Algebraic & geometric topology* 18.6 (2018): 3133–3204.
- McDonald, R Neuhauser, R Robinson, M Larsen, L Harrington, H Bruna, M “Zigzag persistence for coral reef resilience using a stochastic spatial model.” *Journal of the Royal Society, Interface* volume 20 issue 205 20230280–(23 Aug 2023).

# 発表の流れ

- 位相的データ解析とは？
- 定理(常に区間分解可能な半順序集合)
- 定理(2)

## Persistence module (1/2)

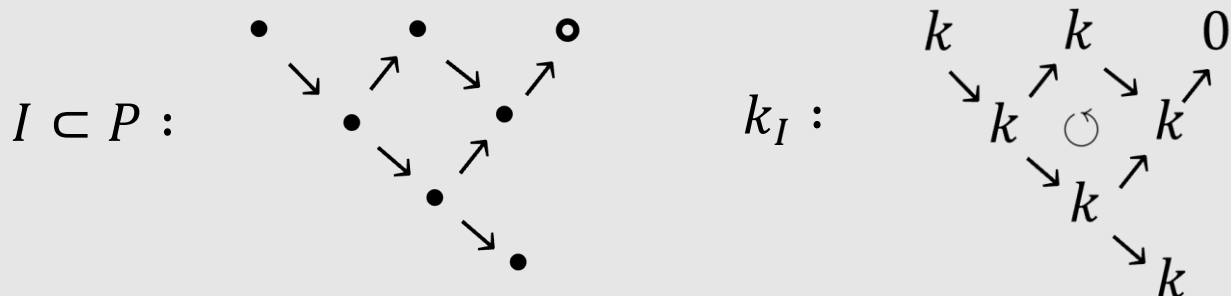
- Let  $P$  be a finite partially ordered set (poset).  
(we see it as a category by  $a \leq b \Leftrightarrow \exists ! a \rightarrow b$ )
-

# Persistence module (1/2)

- Let  $P$  be a finite partially ordered set (poset).  
(we see it as a category by  $a \leq b \Leftrightarrow \exists ! a \rightarrow b$ )
- *Persistence modules over  $P$*  are functors from  $P$  to  $k\text{-mod}$   
(or equivalently modules over incidence algebra  $k[P]$ ).

## Intervals (2/2)

- A full subposet  $I$  of  $P$  is called *interval* if  $I$  is
  - (1) connected (the Hasse diagram of  $I$  is connected),
  - (2) convex ( $x \leq y \leq z$ , and  $x, z \in I$  imply  $y \in I$ ).
- 
- 

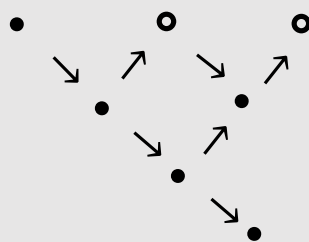


## Intervals (2/2)

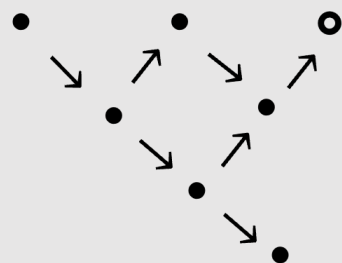
- A full subposet  $I$  of  $P$  is called *interval* if  $I$  is
  - (1) connected (the Hasse diagram of  $I$  is connected),
  - (2) convex ( $x \leq y \leq z$ , and  $x, z \in I$  imply  $y \in I$ ).

•

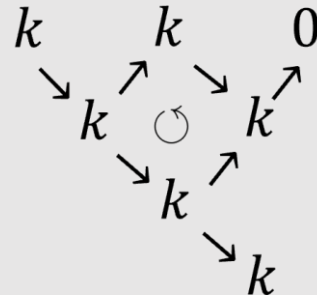
•



$I \subset P :$



$k_I :$



## Intervals (2/2)

- A full subposet  $I$  of  $P$  is called *interval* if  $I$  is
  - (1) connected (the Hasse diagram of  $I$  is connected),
  - (2) convex ( $x \leq y \leq z$ , and  $x, z \in I$  imply  $y \in I$ ).
- For an interval  $I$  of  $P$ , the *interval module*  $k_I$  is defined by  
 $k_I(p) := k$  for  $p \in I$ , otherwise  $k_I(p) := 0$ ,  
 $k_I(a \rightarrow b) := \text{id}_k$  for  $a, b \in I$ , otherwise 0.
- 

$$I \subset P : \quad \begin{array}{c} \bullet \\ \downarrow \\ \bullet \end{array} \quad \begin{array}{c} \bullet \\ \nearrow \\ \bullet \end{array} \quad \begin{array}{c} \bullet \\ \searrow \\ \bullet \end{array} \quad \begin{array}{c} \circ \\ \nearrow \\ \bullet \end{array} \quad \begin{array}{c} \circ \\ \searrow \\ \bullet \end{array} \quad \begin{array}{c} \bullet \\ \nearrow \\ \bullet \end{array} \quad \begin{array}{c} \bullet \\ \searrow \\ \bullet \end{array}$$

$$k_I : \quad \begin{array}{ccccc} k & \xrightarrow{\hspace{-1cm}} & k & \xrightarrow{\hspace{-1cm}} & 0 \\ \downarrow & \nearrow & \circlearrowleft & \searrow & \uparrow \\ k & & k & & k \\ \downarrow & \nearrow & \circlearrowleft & \searrow & \uparrow \\ k & & k & & k \\ \downarrow & \nearrow & \circlearrowleft & \searrow & \uparrow \\ k & & k & & k \end{array}$$

## Intervals (2/2)

- A full subposet  $I$  of  $P$  is called *interval* if  $I$  is
  - (1) connected (the Hasse diagram of  $I$  is connected),
  - (2) convex ( $x \leq y \leq z$ , and  $x, z \in I$  imply  $y \in I$ ).
- For an interval  $I$  of  $P$ , the *interval module*  $k_I$  is defined by  
 $k_I(p) := k$  for  $p \in I$ , otherwise  $k_I(p) := 0$ ,  
 $k_I(a \rightarrow b) := \text{id}_k$  for  $a, b \in I$ , otherwise 0.
- A module is *interval decomposable* if the module decomposes into interval modules.

$$I \subset P : \quad \begin{array}{c} \bullet \\ \downarrow \quad \nearrow \\ \bullet \end{array} \quad \begin{array}{c} \bullet \\ \downarrow \quad \nearrow \\ \bullet \end{array} \quad \begin{array}{c} \bullet \\ \downarrow \quad \nearrow \\ \bullet \end{array} \quad \begin{array}{c} \circ \\ \nearrow \quad \downarrow \\ \bullet \end{array}$$

$$k_I : \quad \begin{array}{ccccc} k & & k & & 0 \\ \downarrow & \nearrow & \downarrow & \nearrow & \\ k & \circlearrowleft & k & \nearrow & k \\ \downarrow & \nearrow & \downarrow & \nearrow & \\ k & & k & & k \end{array}$$

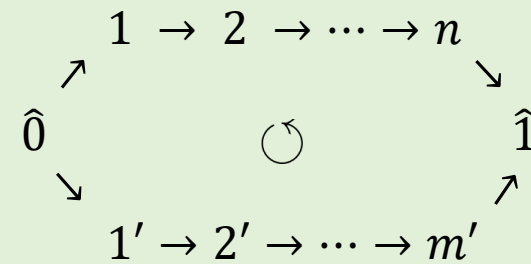
## Theorem 1 [Aoki-Escolar-T]

Let  $P$  be a finite poset. The following are equivalent.

- (a) Every  $k[P]$  module is interval decomposable.
- (b) The Hasse diagram of  $P$  is one of the following form:

$$1 \longleftrightarrow \cdots \longleftrightarrow n$$

$$A_n(a)$$



$$\tilde{A}_{n,m}$$

# 発表の流れ

- 位相的データ解析とは？
- 定理(常に区間分解可能な半順序集合)
- 定理(区間次元)

$$\begin{array}{ccc}
& \begin{matrix} & 1 \rightarrow 2 \rightarrow \cdots \rightarrow n & \\ & \nearrow & \downarrow \\ \hat{0} & & \circlearrowleft & & \hat{1} \\ & \searrow & & & \nearrow \\ & 1' \rightarrow 2' \rightarrow \cdots \rightarrow m' & & & \end{matrix} \\
1 \longleftrightarrow \cdots \longleftrightarrow n & & \tilde{A}_{n,m}
\end{array}$$

(加群が常に区間分解可能な半順序集合)

$$1 \longleftrightarrow \cdots \longleftrightarrow n$$

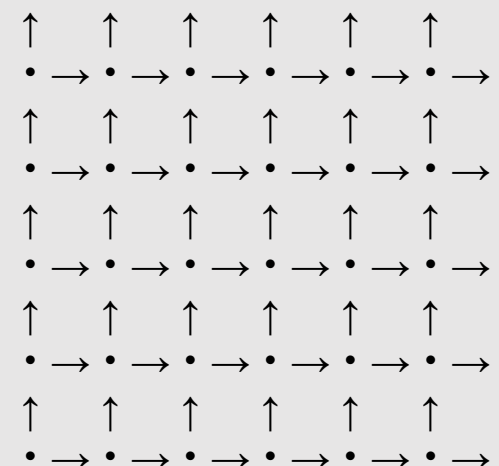
$$A_n(a)$$

$$\begin{array}{c} 1 \rightarrow 2 \rightarrow \cdots \rightarrow n \\ \hat{0} \quad \quad \quad \textcirclearrowleft \quad \quad \quad \hat{1} \\ \uparrow \quad \quad \quad \downarrow \\ 1' \rightarrow 2' \rightarrow \cdots \rightarrow m' \\ \tilde{A}_{n,m} \end{array}$$

(加群が常に区間分解可能な半順序集合)



## 一般の半順序集合の表現



$$\begin{array}{ccc}
 & \begin{matrix} 1 \rightarrow 2 \rightarrow \cdots \rightarrow n \\ \hat{0} & \circ & \hat{1} \\ \uparrow & & \downarrow \\ 1' \rightarrow 2' \rightarrow \cdots \rightarrow m' \end{matrix} & \\
 1 \longleftrightarrow \cdots \longleftrightarrow n & A_n(a) & \tilde{A}_{n,m}
 \end{array}$$

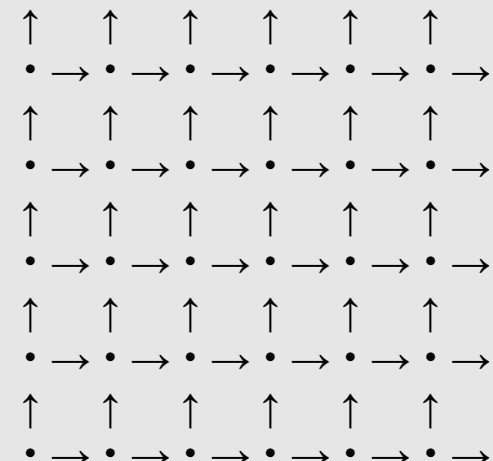
(加群が常に区間分解可能な半順序集合)



## 一般の半順序集合の表現

半順序集合上の(データから得られるような)  
複雑な加群を、

“取り扱いやすい加群”(区間加群)  
を用いて理解したい。



$$\begin{array}{ccc}
 & \begin{matrix} 1 \rightarrow 2 \rightarrow \cdots \rightarrow n \\ \hat{0} & \textcirclearrowleft & \hat{1} \\ \uparrow & & \downarrow \\ 1' \rightarrow 2' \rightarrow \cdots \rightarrow m' \end{matrix} \\
 1 \longleftrightarrow \cdots \longleftrightarrow n & A_n(a) & \tilde{A}_{n,m}
 \end{array}$$

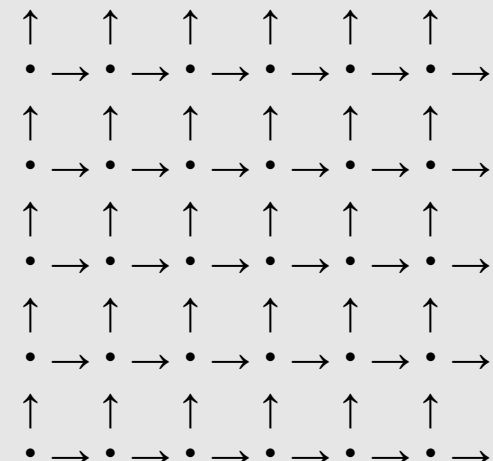
(加群が常に区間分解可能な半順序集合)



## 一般の半順序集合の表現

半順序集合上の(データから得られるような)  
複雑な加群を、

“取り扱いやすい加群”(区間加群)  
を用いて理解したい。



## 区間近似

(Interval approximation)

## Resolution dimension (1/2)

- $A$  : a finite dimensional  $k$ -algebra
- $\mathcal{X}$  : a full subcategory of  $\text{mod } A$  satisfying certain conditions.  
( $\text{proj}(A) \subseteq \mathcal{X}$ , functorial finite, closed under direct summand, ...)  
e.g.  $\mathcal{X} =$  the set of all interval decomposable modules.
- If  $M$  has a right minimal  $\mathcal{X}$ -resolution of the form

$$0 \rightarrow J_m \xrightarrow{g_m} \cdots \rightarrow J_2 \xrightarrow{g_2} J_1 \xrightarrow{g_1} J \xrightarrow{f} M \rightarrow 0,$$

then we say that the  *$\mathcal{X}$ -resolution dimension of  $M$*  is  $m$  and write  $\mathcal{X}\text{-res-dim } M = m$ .

Otherwise, we say that the  $\mathcal{X}$ -resolution dimension of  $M$  is infinity.

## Interval resolution global dimension (2/2)

Now, we consider

- $k[P]$  : the incidence algebra of a poset  $P$ .
- $\mathcal{I}_P$  : the set of interval decomposable modules over  $k[P]$ .
- For a module  $M$ , let  $\text{int-res-dim}(M)$  be the resolution dimension of  $M$  with respect to  $\mathcal{I}_P$ .
-

## Interval resolution global dimension (5/5)

Now, we consider

- $k[P]$  : the incidence algebra of a poset  $P$ .
- $\mathcal{I}_P$  : the set of interval decomposable modules over  $k[P]$ .
- For a module  $M$ , let  $\text{int-res-dim}(M)$  be the resolution dimension of  $M$  with respect to  $\mathcal{I}_P$ .
- *interval resolution global dimension of  $k[P]$*  is

$$\text{int-res-gldim}(k[P]) := \sup \{ \text{int-res-dim}(M) \mid M \in \text{mod } k[P] \}$$

( $< \infty$ , by [Asashiba-Escolar-Nakashima-Yoshiwaki, 23])

# Interval resolution global dimension (5/5)

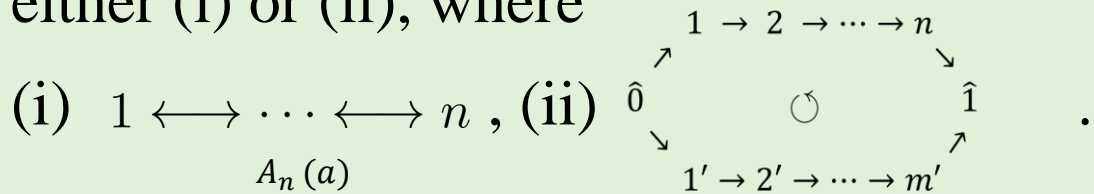
Now, we consider

- $k[P]$  : the incidence algebra of a poset  $P$ .
- $\mathcal{I}_P$  : the set of interval decomposable modules over  $k[P]$ .
- For a module  $M$ , let  $\text{int-res-dim}(M)$  be the resolution dimension of  $M$  with respect to  $\mathcal{I}_P$ .
- *interval resolution global dimension of  $k[P]$*  is

$$\text{int-res-gldim}(k[P]) := \sup \{ \text{int-res-dim}(M) \mid M \in \text{mod } k[P] \} \\ (< \infty, \text{ by [Asashiba-Escolar-Nakashima-Yoshiwaki, 23]})$$

## Remark

$\text{int-res-gldim}(k[P])$  is zero if and only if the Hasse diagram of  $P$  is either (i) or (ii), where



## Theorem 2 [Aoki-Escolar-T]

Let  $P$  be a finite poset. For any full subposet  $Q$  of  $P$ , the following inequality holds.

$$\text{int-res-gldim } k[Q] \leq \text{int-res-gldim } k[P].$$

## Remark

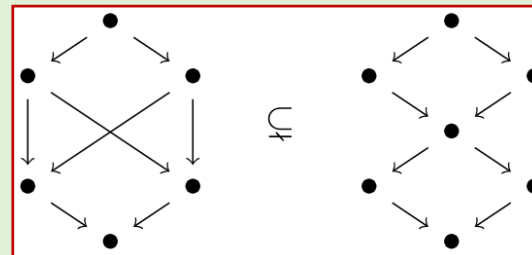
## Theorem 2 [Aoki-Escolar-T]

Let  $P$  be a finite poset. For any full subposet  $Q$  of  $P$ , the following inequality holds.

$$\text{int-res-gldim } k[Q] \leq \text{int-res-gldim } k[P].$$

### Remark

The above monotonicity **does not hold** for (usual) global dimension in general [Igusa-Zacharia, 1990].



Poset	$Q$	$\subset$	$P$
Global dimension	3	>	2
Interval global dimension	1	<	2 (over a field with two elements)

For a full subposet  $Q$  of  $P$ , we have an isomorphism

$$k[Q] \cong ek[P]e$$

of  $k$ -algebras, where  $e := \sum_{x \in Q} e_x$ . It induces adjoint functors

$$\begin{array}{ccc} T := - \otimes_{k[Q]} ek[P] & & \\ \text{mod } k[P] & \begin{array}{c} \xleftarrow{\perp} \\ \text{Res} \\ \xrightarrow{\perp} \end{array} & \text{mod } k[Q] \\ L := \text{Hom}_{k[Q]}(ek[P], -) & & \end{array}$$

- Res preserves interval decomposability of modules.
- T and L do **NOT** preserve interval decomposability of modules in general.

We find a functor  $\Theta$  that sends to interval modules over  $Q$  to interval modules over  $P$  by using T and L.

# The functor $\Theta$

Using adjoint functors, we have

$$\text{Hom}_{k[Q]}(M, M) \cong \text{Hom}_{k[P]}(\text{T}(M), \text{L}(M)).$$
$$\begin{array}{ccc} \Psi & & \Psi \\ 1_M & \longmapsto & \theta_M \end{array}$$

For a given module  $M \in \text{mod } k[Q]$ , let

$$\Theta(M) := \text{Im}(\theta_M).$$

It gives rise to a functor  $\Theta$ . It is called *intermediate extension* in [Kuhn, 94], and *prolongement intermédiaire* in [Beilison-Bernstein-Deligne, 82].

**Proposition** For a given interval  $I$  of  $Q$ , let  $k_I$  be the corresponding interval  $k[Q]$ -module. Then, we have

$$\Theta(k_I) \cong k_{\text{conv}(I)},$$

where  $\text{conv}(I)$  is the smallest interval of  $P$  containing  $I$ .

# The functor $\Theta$

We obtain a pair of functors

$$\begin{array}{ccc} & \Theta & \\ \text{mod } k[P] & \xleftarrow{\quad\text{Res}\quad} & \text{mod } k[Q] \\ & \xrightarrow{\quad\text{Res}\quad} & \end{array}$$

satisfying the following properties :

- (i) Res preserves interval decomposability of modules.
- (ii)  $\Theta$  sends interval modules to interval modules by Proposition.
- (iii)  $1_{\text{mod } k[Q]} \cong \text{Res} \circ \Theta$ .

**Proposition** For any  $M \in \text{mod } k[Q]$ , we have the following inequality

$$\text{int-res-dim}(M) \leq \text{int-res-dim}(\Theta(M)).$$

Since  $M$  is an arbitrary module, we obtain the desired inequality

$$\text{int-res-gldim}(k[Q]) \leq \text{int-res-gldim}(k[P]). \quad \square$$

# Discussion

- Can we apply  $\tilde{A}_{n,m}$  to topological data analysis? Stability?
- Does int-res-gldim depend on the characteristic of fields?
- Computation using GAP package QPA (“Quiver and Path Algebras”)
  - pmgap :  $(n \times m)$ -grid by E. G. Escolar
  - our project: an arbitrary finite poset
    - e.g. interval approximations / resolutions of modules

GAP - Groups, Algorithm, Programming -  
a System for Computational Discrete Algebra

ご清聴ありがとうございました。

## 参考文献

- Carlsson, Gunnar, and Vin De Silva. "Zigzag persistence." *Foundations of computational mathematics* 10 (2010): 367-405.
- Carlsson, Gunnar, Vin De Silva, and Dmitriy Morozov. "Zigzag persistent homology and real-valued functions." *Proceedings of the twenty-fifth annual symposium on Computational geometry*. 2009.
- Botnan, Magnus, and Michael Lesnick. "Algebraic stability of zigzag persistence modules." *Algebraic & geometric topology* 18.6 (2018): 3133-3204.
- Asashiba, Hideto. "Relative Koszul coresolutions and relative Betti numbers." *arXiv preprint arXiv:2307.06559* (2023).
- Bauer, Ulrich, et al. "Cotorsion torsion triples and the representation theory of filtered hierarchical clustering." *Advances in Mathematics* 369 (2020): 107171.
- Keller B, Lesnick M, Willke TL. Persistent Homology for Virtual Screening. *ChemRxiv*. Cambridge: Cambridge Open Engage; 2018.
- Hiraoka, Y., Nakamura, T., Hirata, A., Escolar, E. G., Matsue, K., & Nishiura, Y. "Hierarchical structures of amorphous solids characterized by persistent homology." *Proceedings of the National Academy of Sciences*, 113(26), (2016):7035-7040.

## 参考文献

- Kiyoshi Igusa and Dan Zacharia. “On the cohomology of incidence algebras of partially ordered sets.” Communications in Algebra, 18(3) (1990):873–887.
- M.Buchet, Emerson G. Escolar“Every 1D Persistence Module is a Restriction of Some Indecomposable 2D Persistence Module” Journal of Applied and Computational Topology.
- Blanchette, Benjamin, Thomas Brüstle, and Eric J. Hanson. "Homological approximations in persistence theory." Canadian Journal of Mathematics (2021): 1-38.
- Magnus Bakke Botnan, Steffen Oppermann, and Steve Oudot. “Signed barcodes for multi-parameter persistence via rank decompositions and rank-exact resolutions.” In International Symposium on Computational Geometry (2021).
- Hideto Asashiba, Emerson G Escolar, Ken Nakashima, and Michio Yoshiwaki. “Approximation by interval-decomposables and interval resolutions of persistence modules.” Journal of Pure and Applied Algebra, 227(10):107397, (2023).
- Assem, Ibrahim, Daniel Simson, and Andrzej Skowronski. “Elements of the Representation Theory of Associative Algebras: Volume 1: Techniques of Representation Theory.” Cambridge University Press, (2006).
- 池祐一, E. G. エスカラ, 大林一平, 鍛治静雄 「位相的データ解析から構造発見へ」 サイエンス社, 2023.

## 参考文献

Erdmann, K., Holm, T., Iyama, O., & Schröer, J. “Radical embeddings and representation dimension.” *Advances in mathematics*, 185(1) (2004):159-177.

Chacholski, W., Guidolin, A., Ren, I., Scolamiero, M., & Tombari, F. (2022). “Effective computation of relative homological invariants for functors over posets.” arXiv preprint arXiv:2209.05923.

Kuhn, Nicholas J. “Generic representations of the finite general linear groups and the Steenrod algebra: II.” *K-theory* 8.4 (1994): 395-428.

McDonald, R Neuhausler, R Robinson, M Larsen, L Harrington, H Bruna, M “Zigzag persistence for coral reef resilience using a stochastic spatial model.” *Journal of the Royal Society, Interface* volume 20 issue 205 20230280-(23 Aug 2023).